

# **Suivi d'objets d'intérêt dans une séquence d'images : des points saillants aux mesures statistiques**

Vincent Garcia

11 décembre 2008



# INTRODUCTION

# INTRODUCTION

## ► Traitement d'images

- Mathématiques appliquées
- Étudier et/ou transformer les images
- ➡ Réduire coup de stockage ou extraire une information sémantique

## ► Suivi d'objets

- Vidéo : séquence d'images
- Détection d'un objet sur la première image
- Trouver la position/forme/taille de l'objet pour chaque image
- Problème complexe, souvent réalisé manuellement

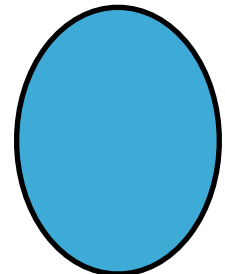
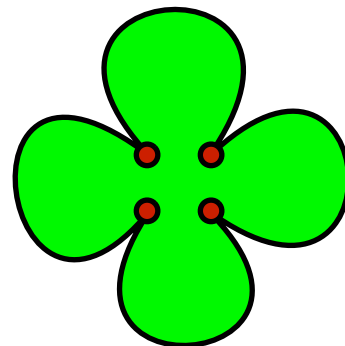
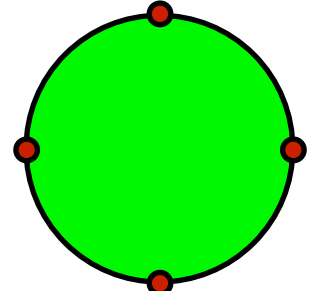
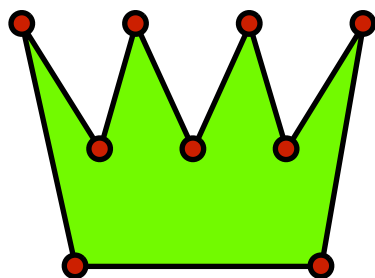
## ► Applications

- Vidéo-surveillance (analyse traffic routier), rotoscopie (préservation d'anonymat, colorisation), compression vidéo, etc.

# SUIVI D'OBJETS

## ► Objet

- Région délimitée par un contour
- Paramétrisation d'un contour
  - Points d'échantillonnage + Courbe (e.g. polygone, spline, Bézier)
  - Forme simple (e.g. rectangle, ellipse)
  - Paramétrisation doit être adaptée à l'objet et au problème / application
- Contour édité manuellement sur la première image



# PLAN

- ▶ **Suivi de la couronne de l'objet**
  - **Suivi des points d'échantillonnage par une méthode de block-matching**
  - **Masquage partiel des pixels du fond**
  - **Mesure statistique de similarité : entropie du résiduel**
  - **Validation sur séquences synthétiques et sur séquences réelles**
- ▶ **Suivi d'objets & mesures statistiques**
  - **Suivi d'objets**
    - **Descripteur : couleur + géométrie**
    - **Mesure de similarité : divergence de Kullback-Leibler calculée à partir de la distance au kPPV**
  - **Implémentation GPU de la recherche des kPPV**
  - **Expérimentations sur données synthétiques et sur séquences réelles**

- 1 -

SUIVI DE LA COURONNE DE L'OBJET

# SUIVI DE LA COURONNE DE L'OBJET

## ► Problème

- Contour initial à l'image I<sub>1</sub>
- Calculer le contour sur les autres images
- Gestion des déformations locales
- Calcul à partir contour précédent



## ► Objet = points d'échantillonnage + courbe

## ► Approche proposée

- Estimation du mouvement des points d'échantillonnage
- Utilisabilité d'un algorithme de type block-matching

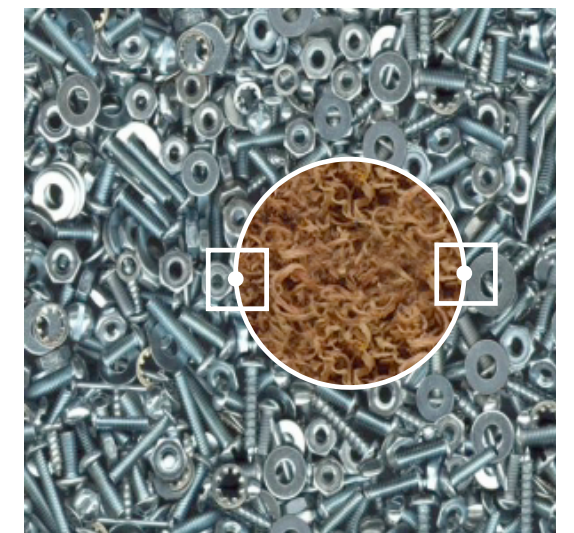
# APPROCHE CLASSIQUE

## ► Algorithme

- Bloc à l'image  $I^t$  (matrice de pixel YUV, 33x33 pixels)
- Trouver le bloc le plus similaire dans l'image  $I^{t+1}$

$$v_i = \arg \min_u \sum_{x \in B_i} \varphi(r(x, u))$$

- $v_i$  : translation
- $B_i$  : bloc
- Résiduel :  $r(x, u) = I^t(x) - I^{t+1}(x + u)$
- SAD :  $\varphi(x) = |x|$

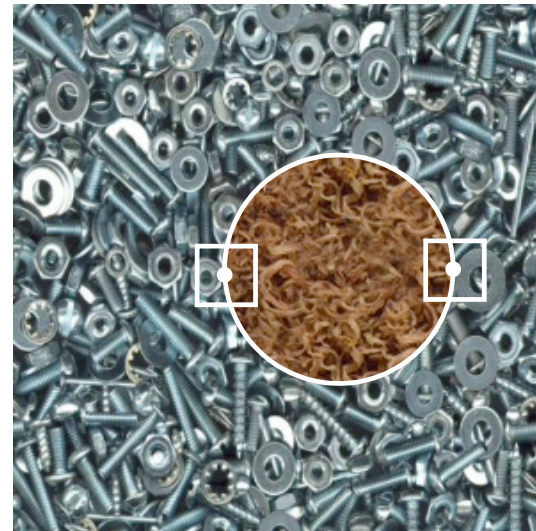


Vtex

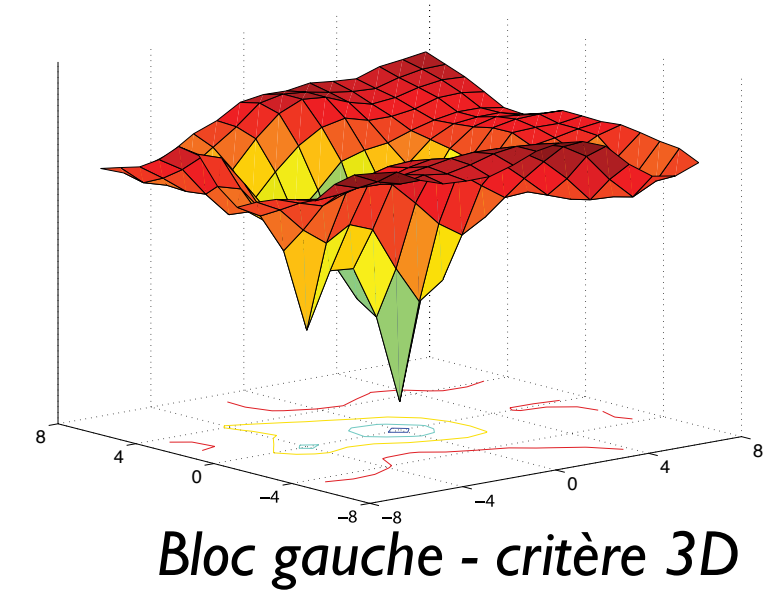
# APPROCHE CLASSIQUE

## ► Séquence

- 300 x 300 pixels
- Objet texturé
- Fond texturé
- Mouvement : -4 pixels



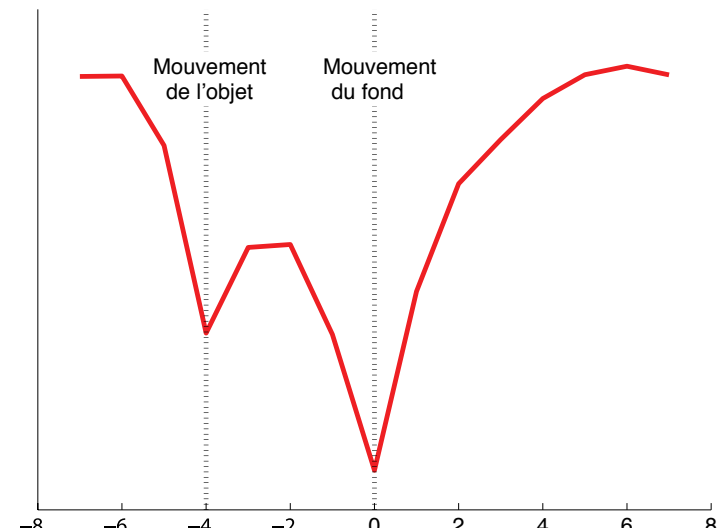
Vtex



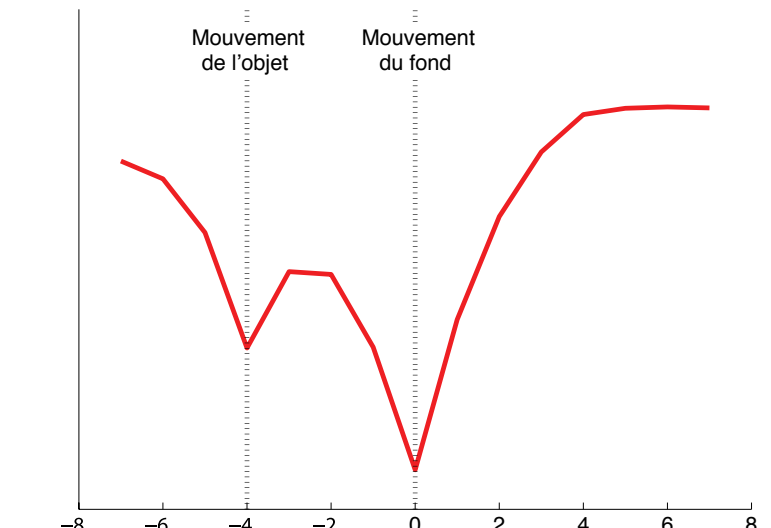
Bloc gauche - critère 3D

## ► Résultats

- 2 minima
  - Mouvement fond (extremum)
  - Mouvement objet
- Bloc
  - Pixels du fond (majoritaires)
  - Pixels de l'objet



Bloc gauche - profil 2D



Bloc droite - profil 2D

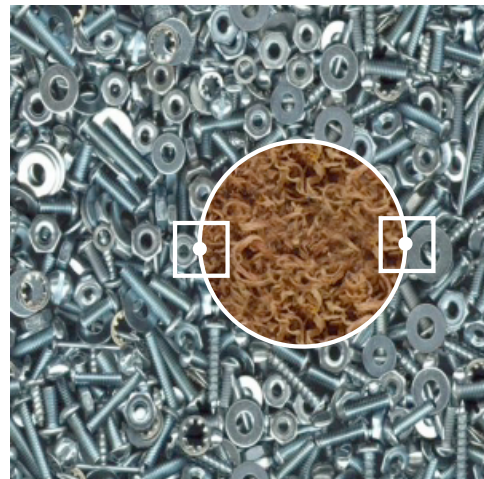
# MASQUAGE DU FOND

## Principe

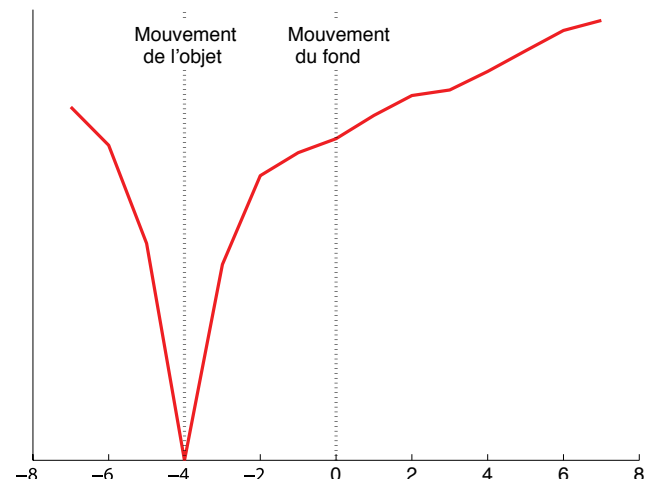
- Masquer les pixels du fond
- Masquage :  $\Omega_i = B_i \cap D^t$

$$v_i = \arg \min_u \sum_{x \in \Omega_i} \varphi(r(x, u))$$

## Résultats



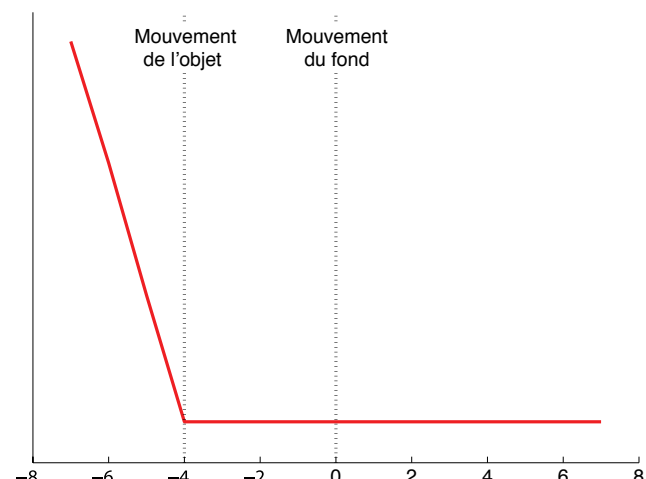
*Vtex*



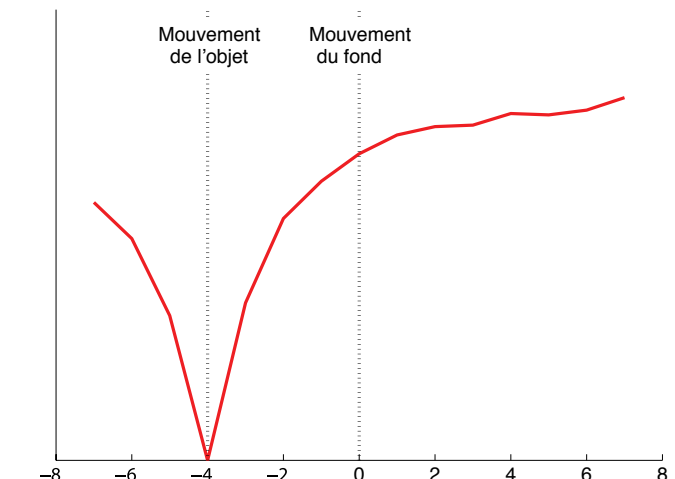
*Bloc gauche*



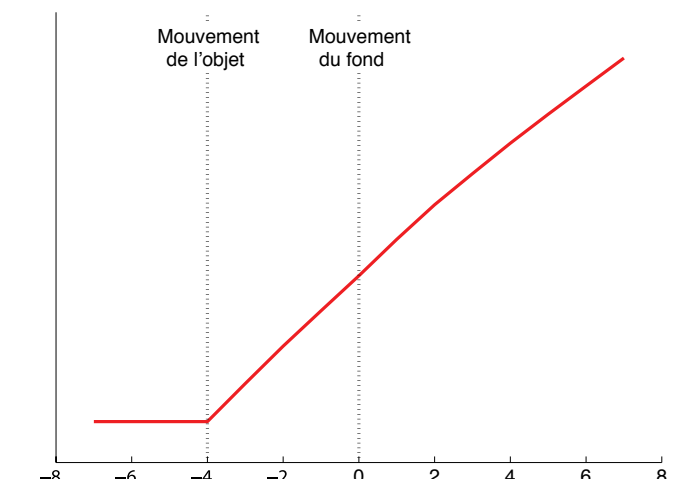
*Vhom*



*Bloc gauche*



*Bloc droite*



*Bloc droite*

# MASQUAGE PARTIEL DU FOND

## ► Principe

- Masquer partiellement les pixels du fond
- Masquage :  $\tilde{\Omega}_i = B_i \cap d_R(D^t)$
- dR : dilatation mathématique de rayon R

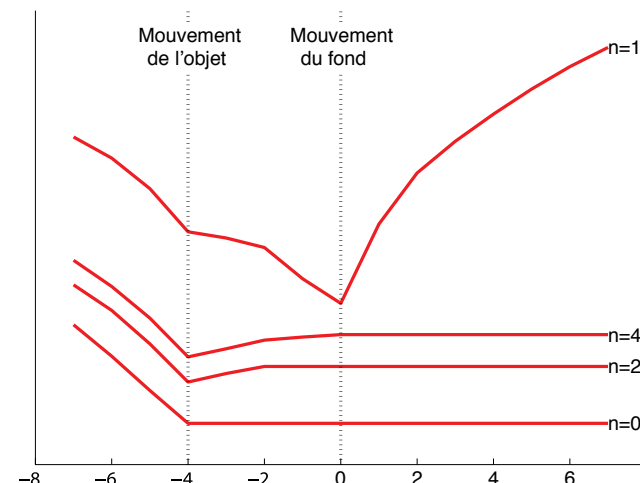
$$v_i = \arg \min_u \sum_{x \in \tilde{\Omega}_i} \varphi(r(x, u))$$

## ► Résultats

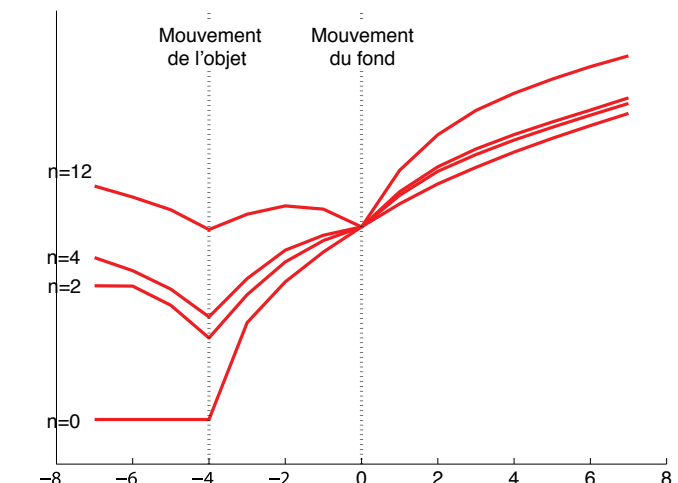
- Dilatation permet de déterminer un minimum global
- Minimum dépend du rayon de dilatation



*V<sub>hom</sub>*



*Bloc gauche*



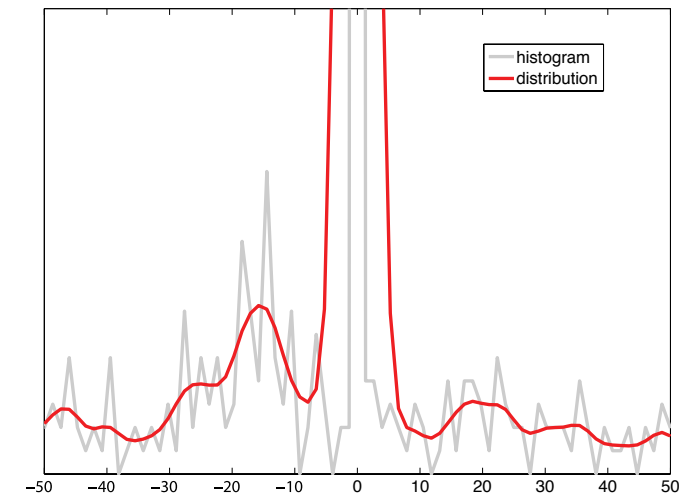
*Bloc droite*

# CRITÈRES DE BLOCK-MATCHING

- ▶ Rayon de dilatation déterminant → étendre  $[R_{\min}, R_{\max}]$  au maximum

## ▶ Critère SAD

- Efficace si résiduel paramétrique (Laplacien)
- Hypothèse fausse en général



## ▶ Critère non paramétrique

- Entropie du résiduel (Ahmad-Lin)
- Dépend de la distribution réelle du résiduel
- Estimation de la distribution du résiduel
  - Méthode à noyaux (Parzen)
  - Recherche des k plus proches voisins (kPPV)

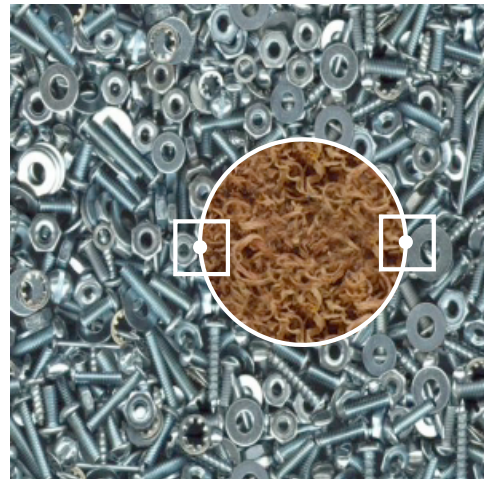
$$v_i = \arg \min_u -\frac{1}{|\tilde{\Omega}_i|} \sum_{x \in \tilde{\Omega}_i} \log(\hat{f}(r(x, u)))$$

$$\hat{f}(x) = \frac{1}{n\sigma\sqrt{2\pi}} \sum_{j=1}^n e^{-\frac{(x-\mu)^2}{2\sigma^2}}$$

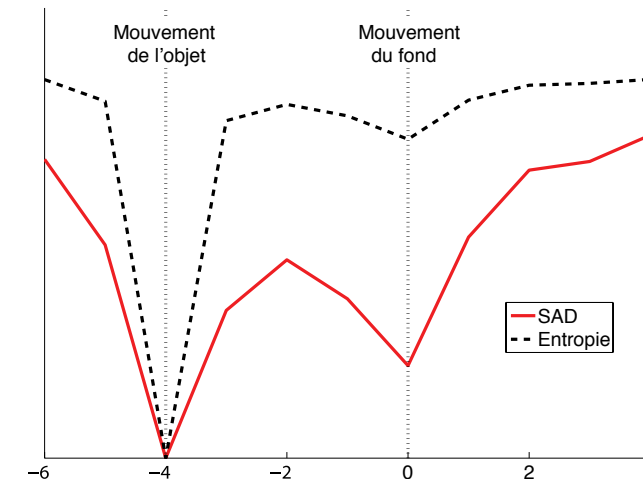
$$\hat{f}(x) = \frac{k}{N_{\tilde{\Omega}_i} v_d \rho_k(x, \tilde{\Omega}_i)^d}$$

# SAD VS ENTROPIE

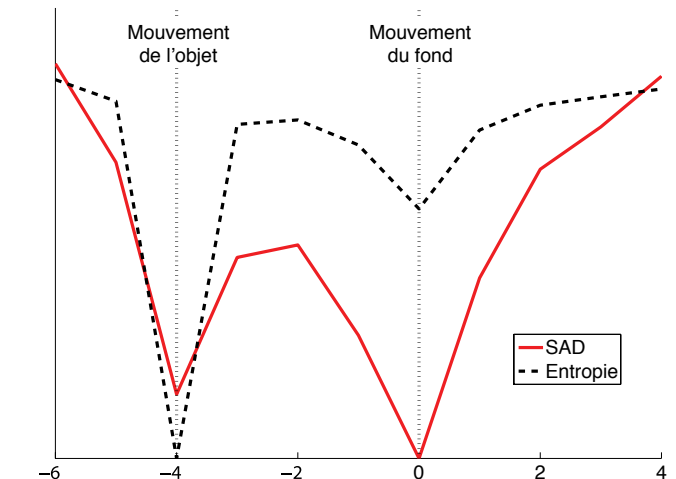
## ▶ Profils



$V_{tex}$



*Bloc gauche - R=10*



*Bloc gauche - R=14*

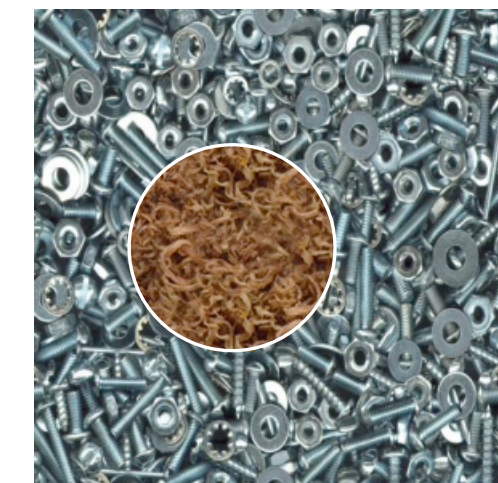
## ▶ SAD & entropie, rayon = 5 pixels



11



19



116

# SAD VS ENTROPIE

- ▶ Rayon R=10 pixels

SAD



Entropie



# SAD VS ENTROPIE - SYNTHÉTIQUE

► Rayon R=14 pixels

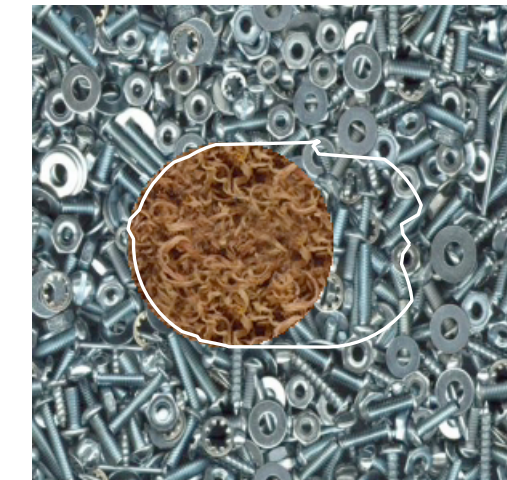
► SAD



II



I9



II6

► Entropie



II



I9



II6

# SAD VS ENTROPIE - CAR MAP

- ▶ Carmap -  $320 \times 240$  pixels
- ▶ Rayon R = 5 pixels
- ▶ SAD



II



I15



I29

- ▶ Entropie



II



I15



I29

# SAD VS ENTROPIE - SOCCER

- ▶ Carmap -  $704 \times 576$  pixels
- ▶ Rayon R = 10 pixels
- ▶ SAD



11



15



19

- ▶ Entropie



11



15



19

## RESULTATS - ICE

- ▶ Ice - 704 x 576
- ▶ Rayon R = 10 pixels
- ▶ SAD & Entropie



# CONCLUSION

- ▶ Suivi d'objets déformables : block-matching (suivi rapide)
- ▶ Masquage partiel des pixels du fond (outliers)
  - Diminuer influence outliers
  - Garder la structure de bord
- ▶ Critère d'estimation non paramétrique : **entropie du résiduel**
  - Amélioration du suivi en diminuant l'impact des outliers
- ▶ Dilatation optimale
  - Indépendante pour chaque point d'échantillonnage
  - Proportion pixels fond / objet
    - Précision du contour initial
    - Courbure locale
  - Texture locale fond / objet
  - Netteté locale (motion blur)

- 2 -

SUIVI D'OBJETS & MESURES  
STATISTIQUES

# MOTIVATIONS

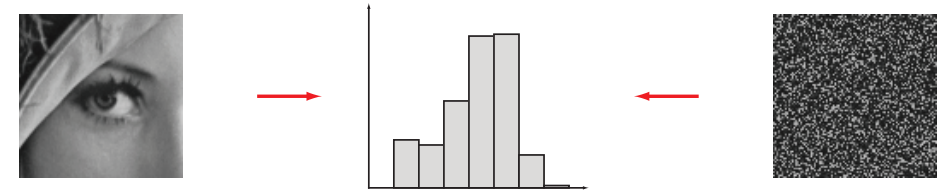
## ▶ Suivi d'objets

- Boîte de référence à l'image  $I_1$
- Trouver la boîte correspondante à l'image  $I_{t+1}$
- Gérer les déformations, rotations, occultations, etc.



## ▶ Comparaison de boîtes : critère de ressemblance usuels

- Résiduel (SAD, SSD) : strictement géométrique
- Information statistique (couleur) : sans géométrie



## ▶ Idée

- Enrichir l'espace de description (augmenter pouvoir discriminant)
- Conserver un critère statistique

# MOTIVATIONS

## ► Suivi d'objets selon Elgammal et al.

- Descripteur : Couleur + position
- Critère : Divergence de Kullback-Leibler (DKL)
- Géométrie souple



## ► Divergence de Kullback-Leibler

$$D_{\text{KL}}(P\|Q) = \int_{x \in \mathbf{R}^d} f_P(x) \log \frac{f_P(x)}{f_Q(x)} dx$$

## ► Inconvénient

- Estimation des densités de probabilité de P et Q

# MOTIVATIONS

## ► Suivi d'objets selon Boltz et al.

- Descripteur : Couleur + position
- Critère : DKL
- Approximation de la DKL par la méthode des k plus proches voisins (kPPV)

$$D_{\text{KL}}(P\|Q) = \log \frac{N_Q}{N_P - 1} + \frac{d}{N_P} \sum_{i=1}^{N_P} \log(\rho_k(p_i, Q)) - \frac{d}{N_P} \sum_{i=1}^{N_P} \log(\rho_k(p_i, P \setminus \{p_i\}))$$

## ► Algorithme

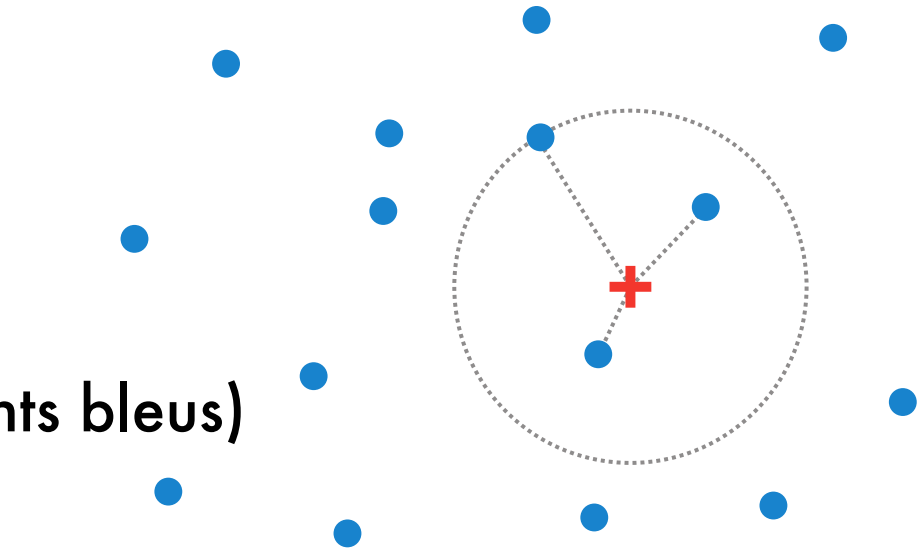
- Localiser l'objet sur la première image → construction ensemble P
- Hypothèse : suivi réalisé jusqu'à l'image  $I^t$  →  $(\delta_n, \sigma_n)$
- Trouver le couple  $(\delta_{n+1}, \sigma_{n+1})$  (ensemble Q) minimisant DKL

## ► Inconvénient : Recherche des kPPV lente en pratique

# RECHERCHE DES KPPV

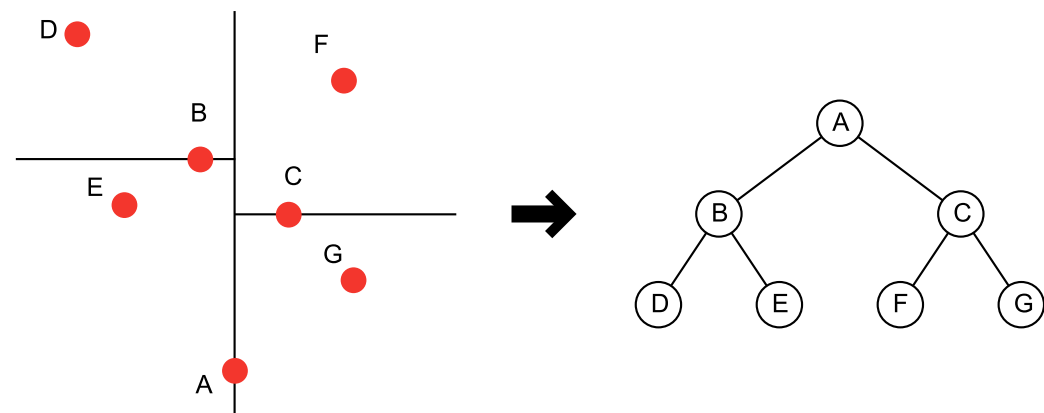
## ▶ Problème

- Point requête (croix rouge)
- Trouver les k plus proches points de référence (points bleus)



## ▶ Approches classiques

- Recherche exhaustive (notée BF pour brute-force)
- Partition de l'espace (kd-tree, etc.)
- Locality Sensitive Hashing

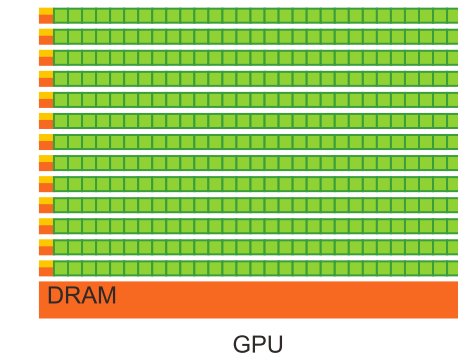
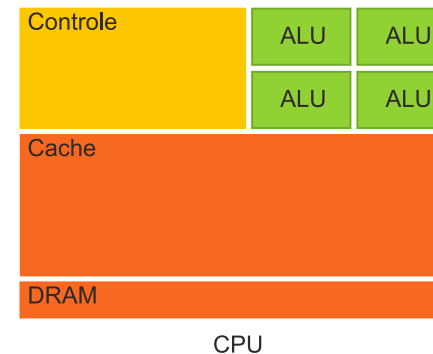
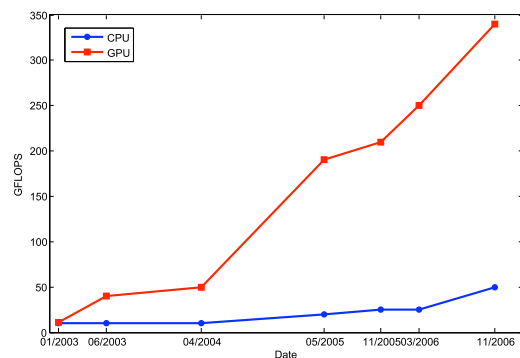


## ▶ BF hautement parallélisable : programmation GPU

# PROGRAMMATION GPU

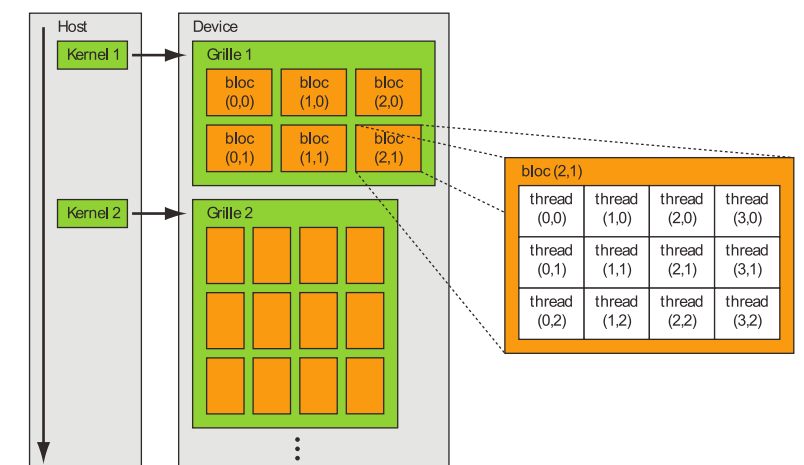
## ► GPU : *Graphics Processing Unit*

- Spécialisé dans le calcul parallèle pour des applications graphiques



## ► API NVIDIA CUDA (Compute Unified Device Architecture)

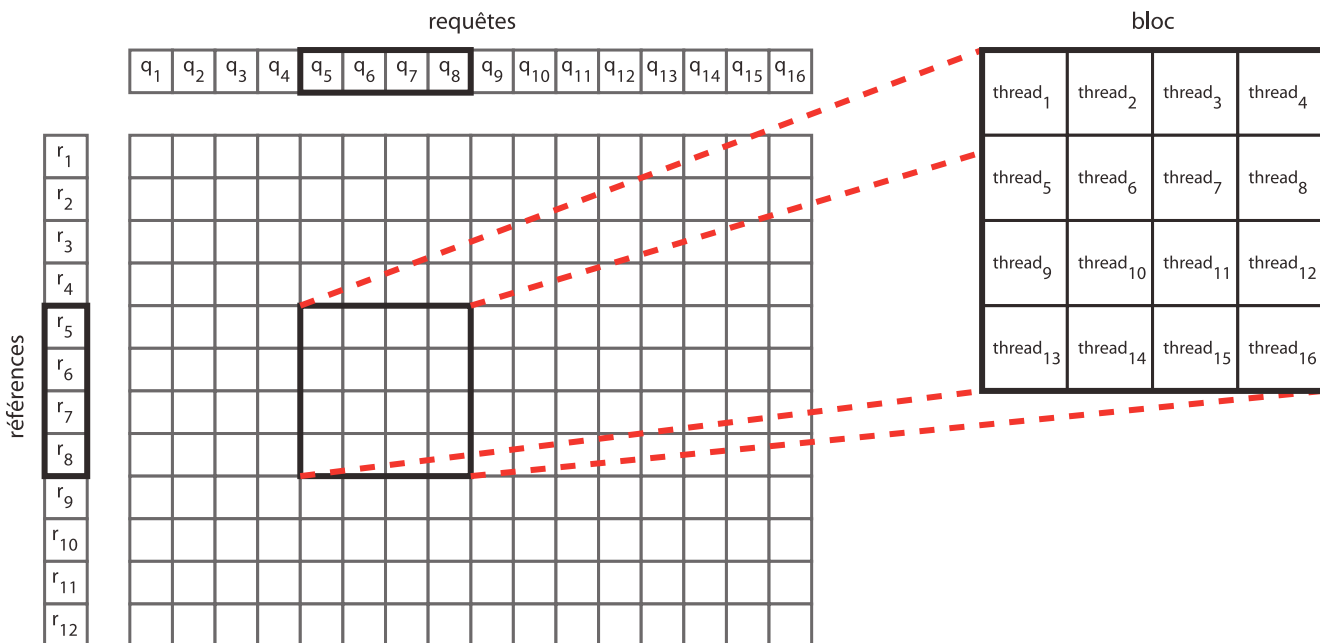
- Profiter de la puissance des GPU pour des applications non graphiques (GPGPU)
- Programmation parallèle en langage C
  - Transférer des données sur la carte graphique
  - Définir une grille de calcul
  - Définir une fonction (kernel)
  - Calculer en **parallèle** le kernel pour chaque élément de la grille



# RECHERCHE DES KPPV EN GPU

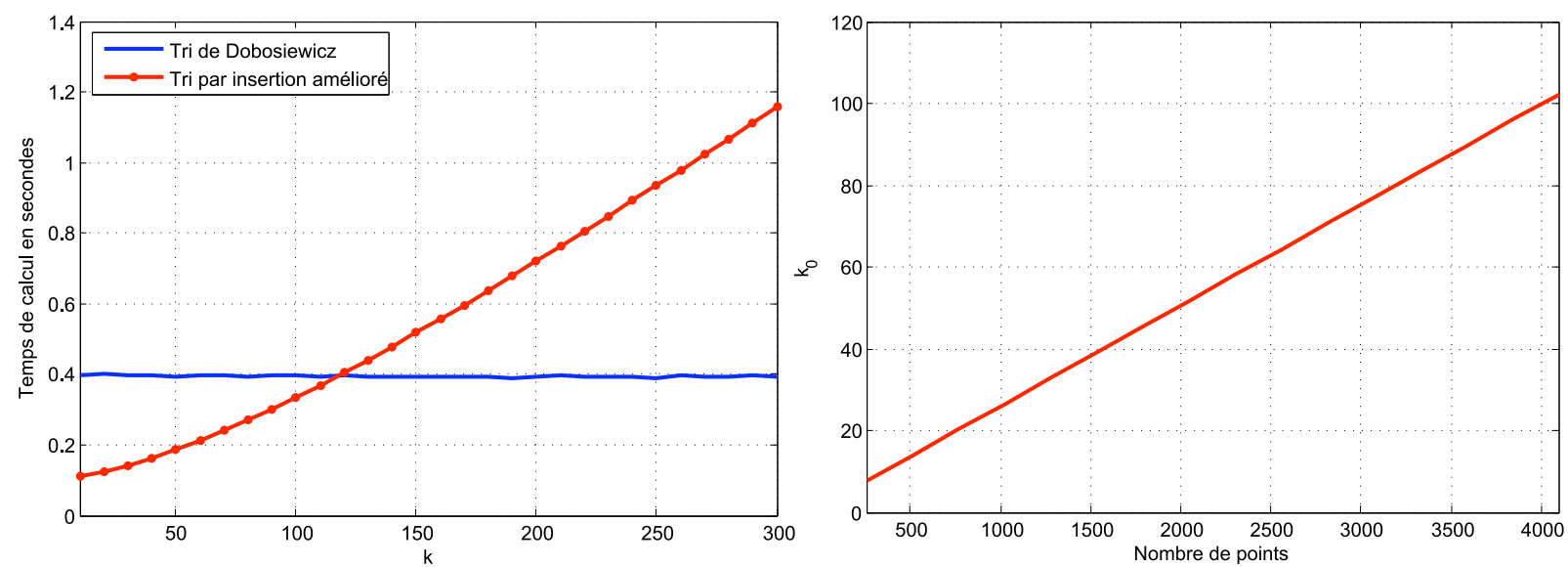
## ▶ Organisation du code

- Définition d'une matrice de distances
- Kernel 1 : Calcul des distances
- Kernel 2 : Tri des distances



## ▶ Tri

- ~~Quicksort (récursif)~~
- Tri de Dobosiewicz
- Tri par insertion (modifié)



4800 points de dimension 64

# EXPÉRIMENTATIONS SUR DONNÉES SYNTHÉTIQUES

## ► But

- Etudier l'intérêt de la programmation GPU pour la recherche des kPPV
- Confronter notre approche aux approches et implémentations classiques

## ► Approches testées

- BF-MATLAB, BF-C, BF-CUDA
- ANN-C++ (*Approximate Nearest Neighbor, Mount and Arya*)

## ► Ordinateur

- Pentium IV 3.4 GHz, 2Go DDR2
- NVIDIA GeForce 8800GTX (16x8 processeurs à 1.35 GHz)
- Windows XP, CUDA 1.1

## ► Données

- Nombres aléatoires U(0,1)

# EXPÉRIMENTATIONS SUR DONNÉES SYNTHÉTIQUES

## ► BF-CUDA est l'implémentation la plus rapide

- 407 X plus rapide que BF-Matlab
- 295 X plus rapide que BF-C
- 148 X plus rapide que ANN-C++

| Dimension | Methods   | n=1200      | n=4800      | n=9600      | n=19200     |
|-----------|-----------|-------------|-------------|-------------|-------------|
| d=8       | BF-Matlab | 0.51        | 7.84        | 35.08       | 148.01      |
|           | BF-C      | 0.13        | 1.90        | 7.53        | 29.21       |
|           | ANN-C++   | 0.13        | 0.81        | 2.43        | 6.82        |
|           | BF-CUDA   | <b>0.01</b> | <b>0.04</b> | <b>0.13</b> | <b>0.43</b> |
| d=16      | BF-Matlab | 0.74        | 12.60       | 51.64       | 210.90      |
|           | BF-C      | 0.22        | 3.45        | 13.82       | 56.29       |
|           | ANN-C++   | 0.26        | 5.04        | 23.97       | 91.33       |
|           | BF-CUDA   | <b>0.01</b> | <b>0.06</b> | <b>0.17</b> | <b>0.60</b> |
| d=32      | BF-Matlab | 1.03        | 21.00       | 84.33       | 323.47      |
|           | BF-C      | 0.45        | 7.51        | 30.23       | 116.35      |
|           | ANN-C++   | 0.39        | 9.21        | 39.37       | 166.98      |
|           | BF-CUDA   | <b>0.01</b> | <b>0.08</b> | <b>0.24</b> | <b>0.94</b> |
| d=96      | BF-Matlab | 3.30        | 55.77       | 231.69      | 901.38      |
|           | BF-C      | 2.54        | 39.26       | 168.58      | 674.88      |
|           | ANN-C++   | 1.20        | 19.68       | 82.45       | 339.81      |
|           | BF-CUDA   | <b>0.02</b> | <b>0.15</b> | <b>0.57</b> | <b>2.29</b> |

k=20

# EXPÉRIMENTATIONS SUR DONNÉES SYNTHÉTIQUES

## ▶ Répartition du temps de calcul CPU/GPU

## ▶ Paramètres

- $d = 32$
- $n = 4800$
- $k = 20$

|           | CPU | GPU |
|-----------|-----|-----|
| Distances | 91% | 66% |
| Tri       | 4%  | 32% |
| Autre     | 5%  | 2%  |

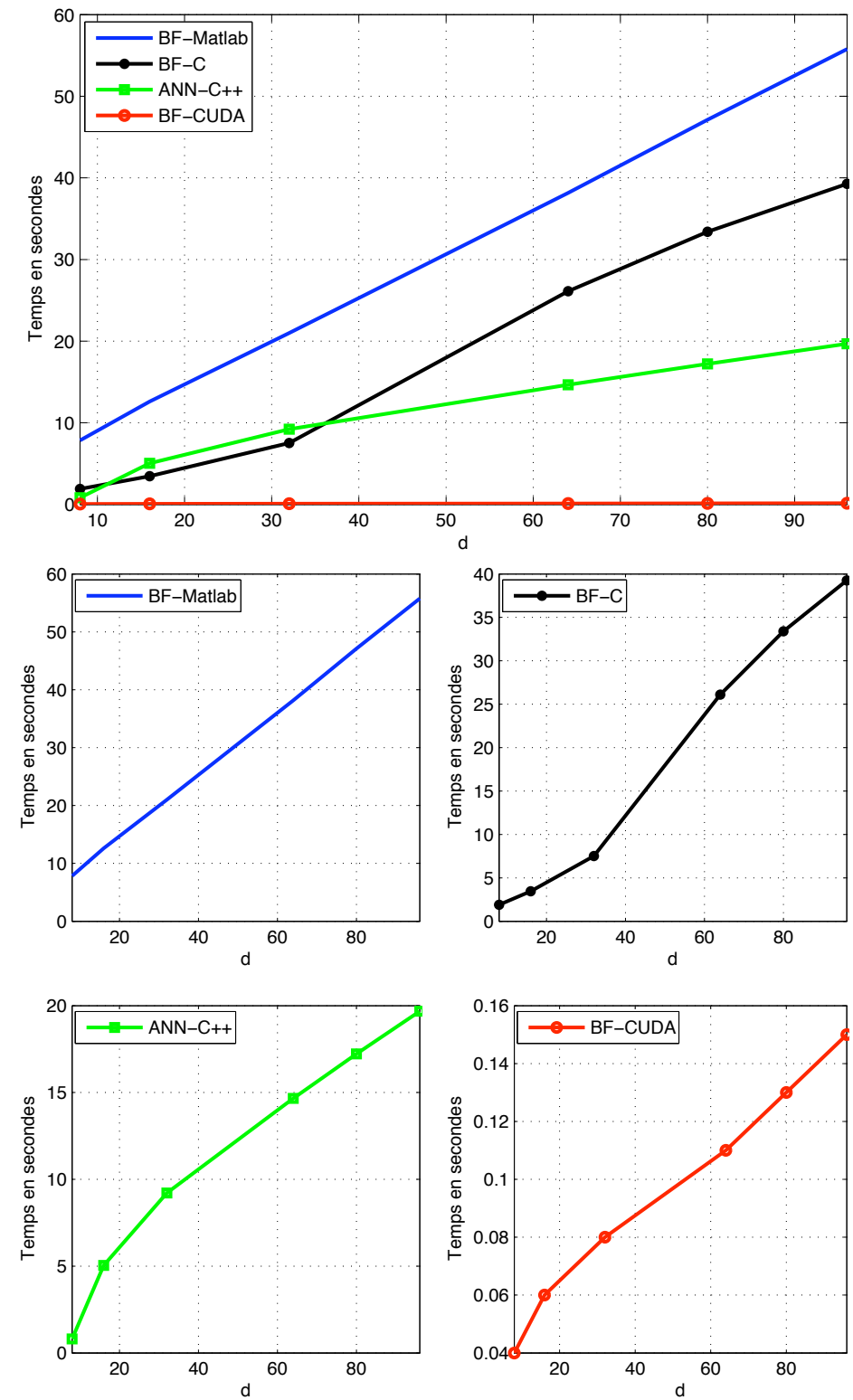
## ▶ Le calcul des distances est mieux adapté à la parallélisation que le tri

# EXPÉRIMENTATIONS SUR DONNÉES SYNTHÉTIQUES

## Influence de la dimension

- $d$  intervient dans le calcul des distances
- Temps de calcul : Augmentation linéaire avec  $d$
- Influence réduite pour CUDA
- Part du calcul des distances augmente avec  $d$

| $d$       | 8      | 16     | 32     |
|-----------|--------|--------|--------|
| Distances | 37%    | 51%    | 66%    |
| Tri       | 62%    | 47%    | 32%    |
| Autre     | 1%     | 2%     | 2%     |
| Total     | 0.040s | 0.055s | 0.076s |

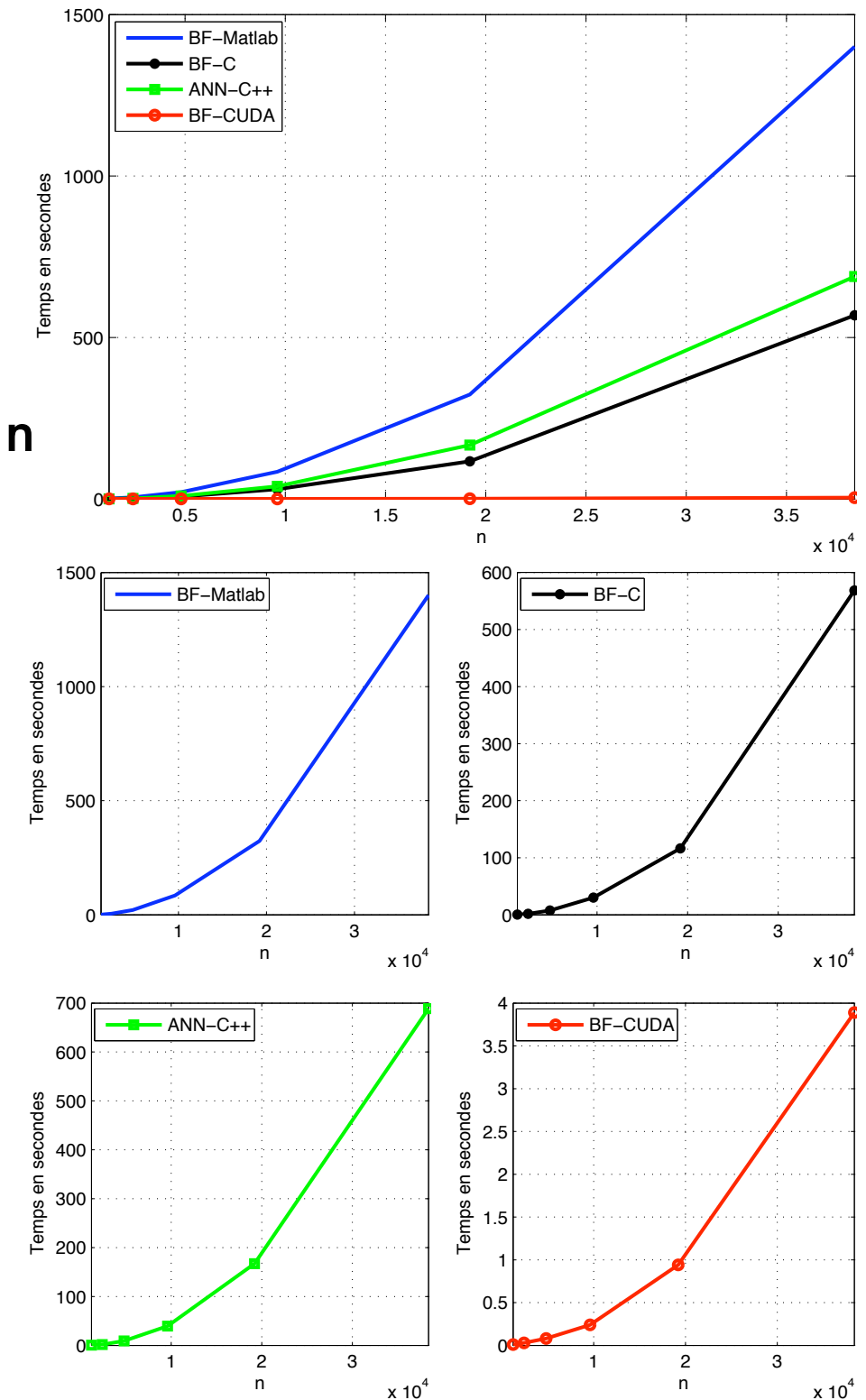


# EXPÉRIMENTATIONS SUR DONNÉES SYNTHÉTIQUES

## Influence du nombre de points

- **n intervient dans le calcul des distances et dans le nombre de tris**
- **Temps de calcul : Augmentation polynomial avec n**
- **Influence réduite pour CUDA**
- **Part du calcul des distances augmente avec n**

| n         | 2400   | 4800   | 9600   |
|-----------|--------|--------|--------|
| Distances | 28%    | 51%    | 59%    |
| Tri       | 70%    | 47%    | 40%    |
| Autre     | 2%     | 2%     | 1%     |
| Total     | 0.023s | 0.055s | 0.169s |

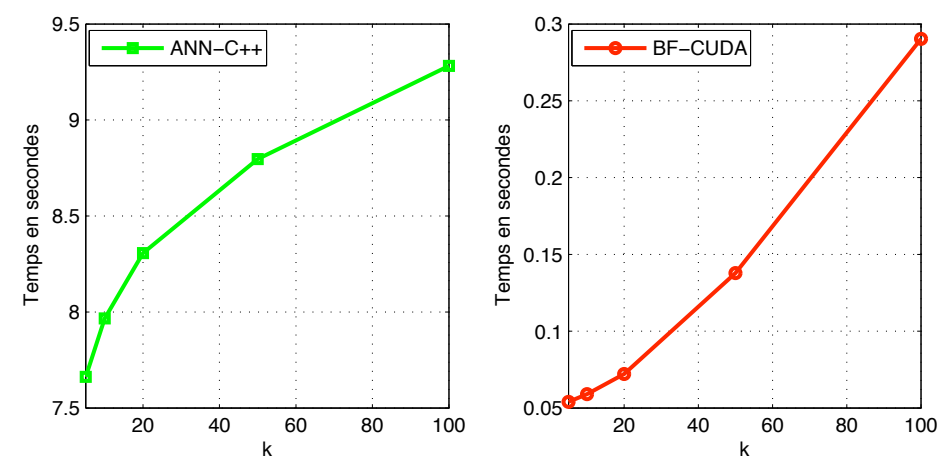
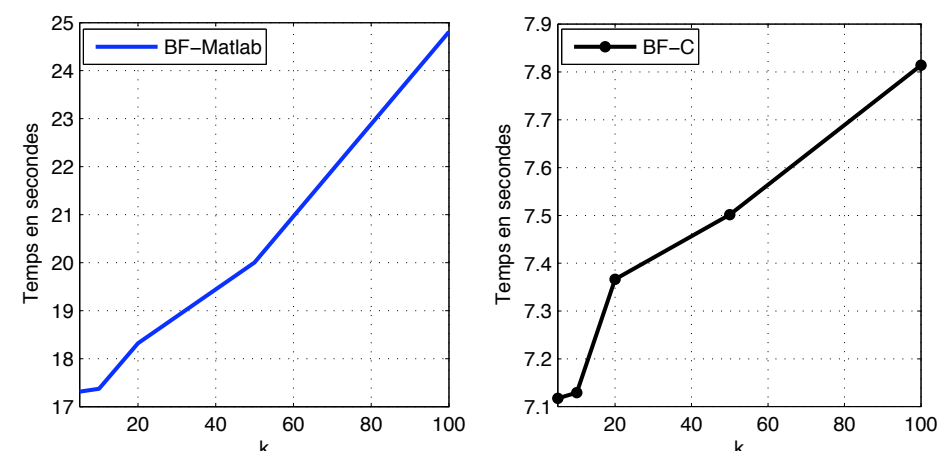
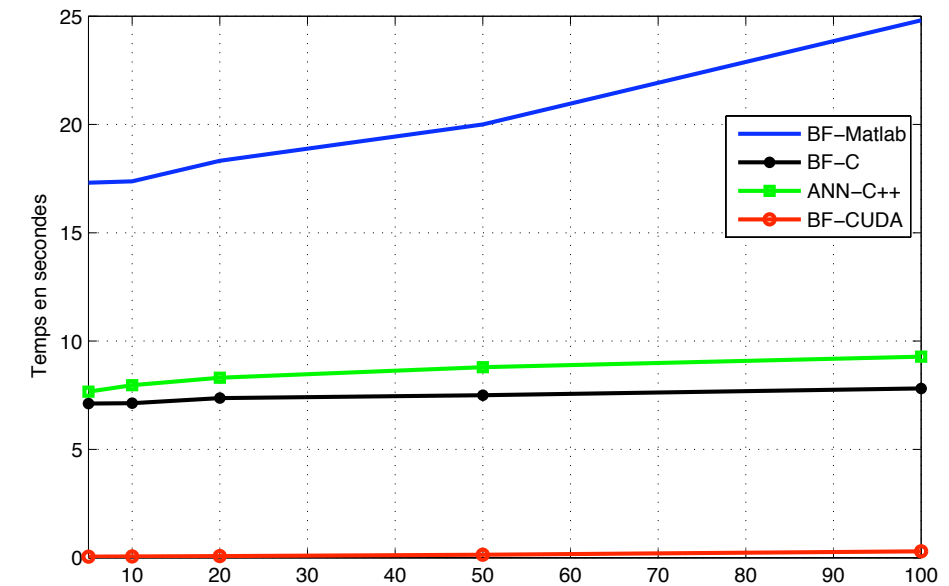


# EXPÉRIMENTATIONS SUR DONNÉES SYNTHÉTIQUES

## Influence du paramètre k

- k intervient dans l'étape de tri
- Temps de calcul : Augmentation linéaire avec k
- Part du tri augmente avec k

| k         | 5      | 10     | 20     |
|-----------|--------|--------|--------|
| Distances | 82%    | 71%    | 51%    |
| Tri       | 15%    | 26%    | 47%    |
| Autre     | 3%     | 3%     | 2%     |
| Total     | 0.033s | 0.037s | 0.055s |



# EXPÉRIMENTATIONS SUR DONNÉES RÉELLES

## ► Boltz et al.

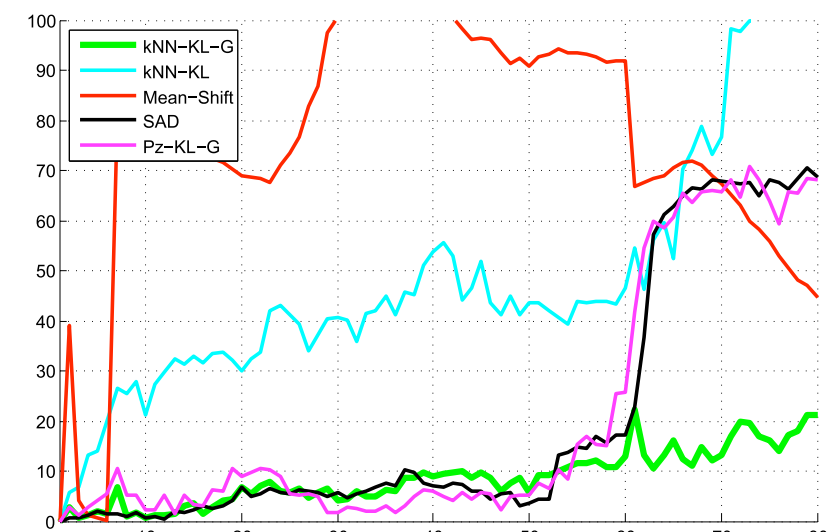
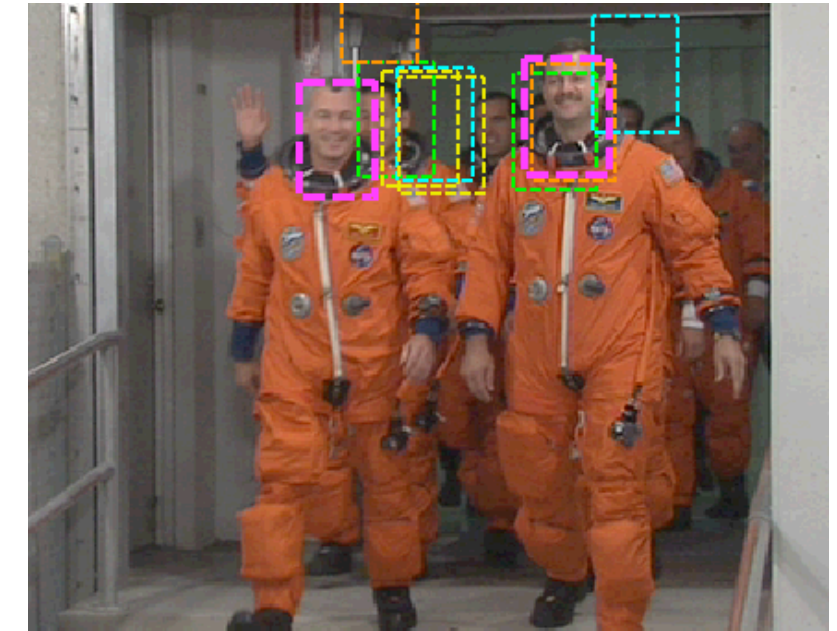
- couleur + géométrie + DKL + kPPV
- Meilleurs résultats

## ► But

- Essayer de nouveaux descripteurs
- Combinaisons de composantes

- C (YUV)
- C3 (patch 3x3)
- C9 (patch 9x9)
- G (gradient)
- P (position)

- Comparaison programmation CPU (ANN-C++) et GPU (BF-CUDA)



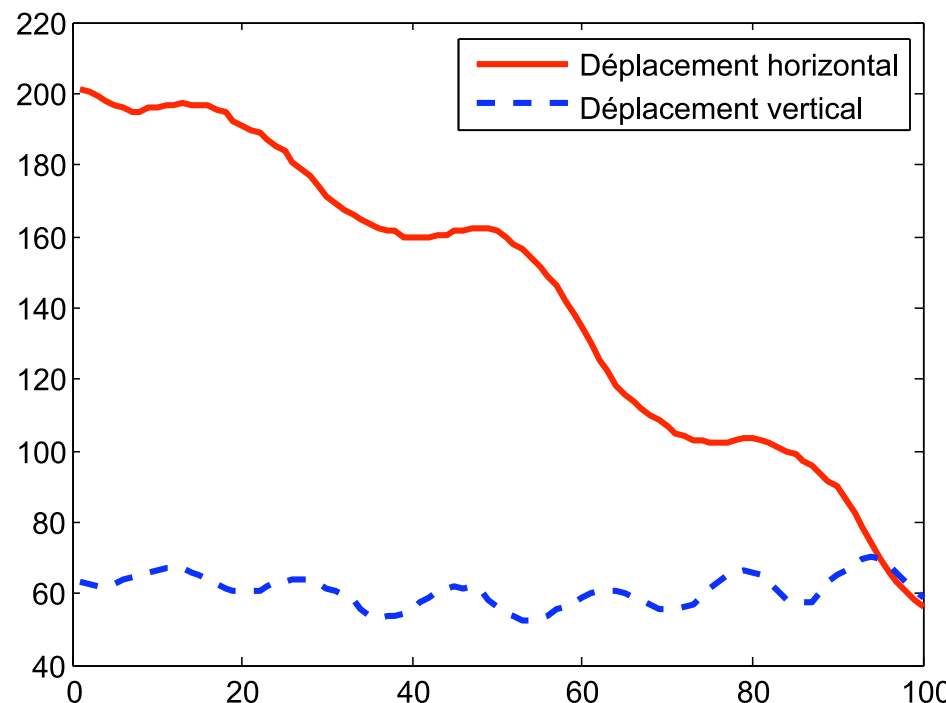
# EXPÉRIMENTATIONS SUR DONNÉES RÉELLES

## ► Séquence Crew

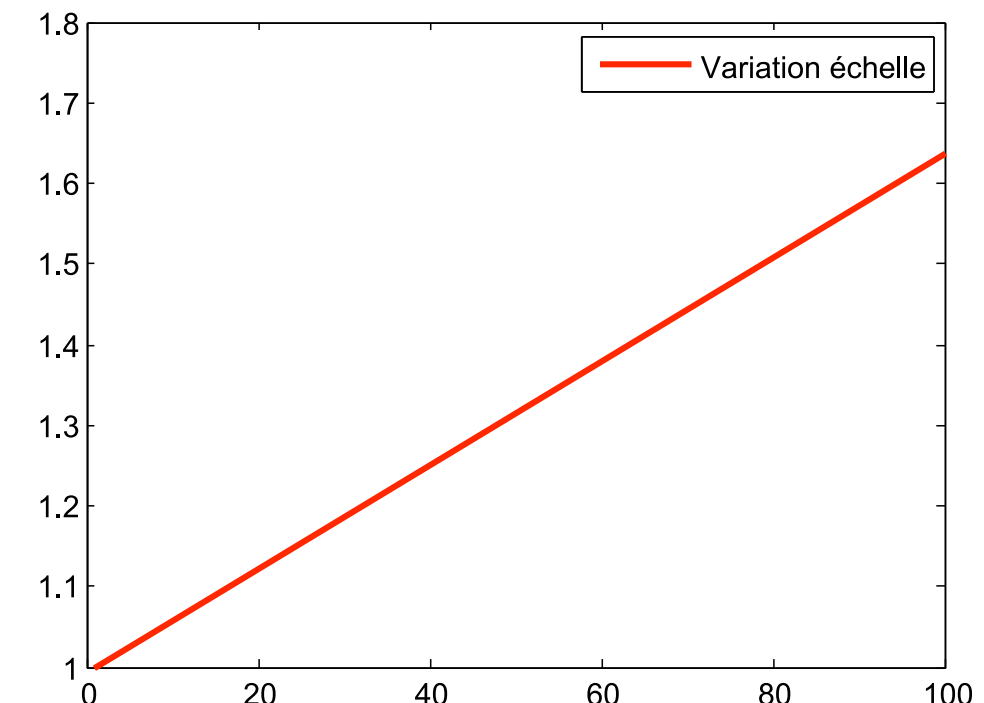
- 352x288 pixels, 100 images
- Objet : 900 pixels
- Difficultés
  - Mouvement complexe
  - Flashes



Évolution des paramètres - position



Évolution des paramètres - échelle



# EXPÉRIMENTATIONS SUR DONNÉES RÉELLES

## ► Descripteurs testées

- C, CP, CG, CGP, C<sub>3</sub>, C<sub>3</sub>P

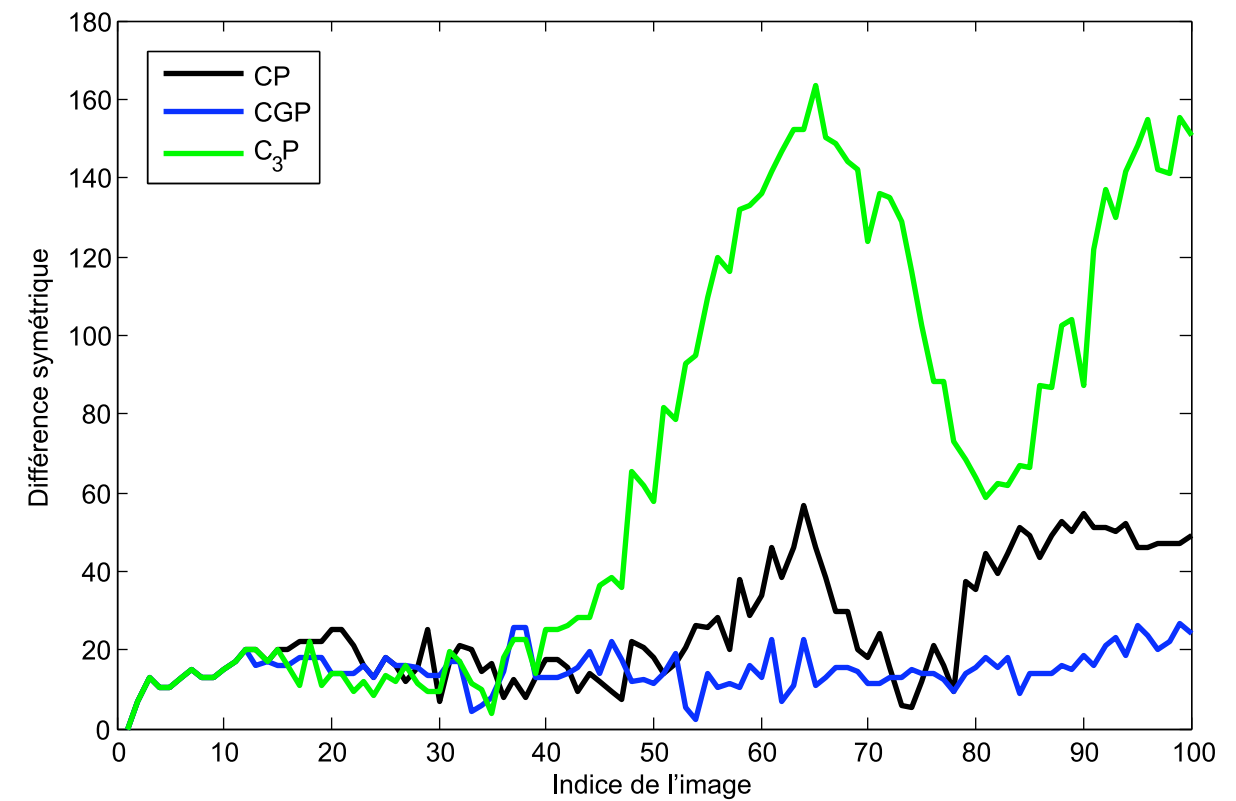
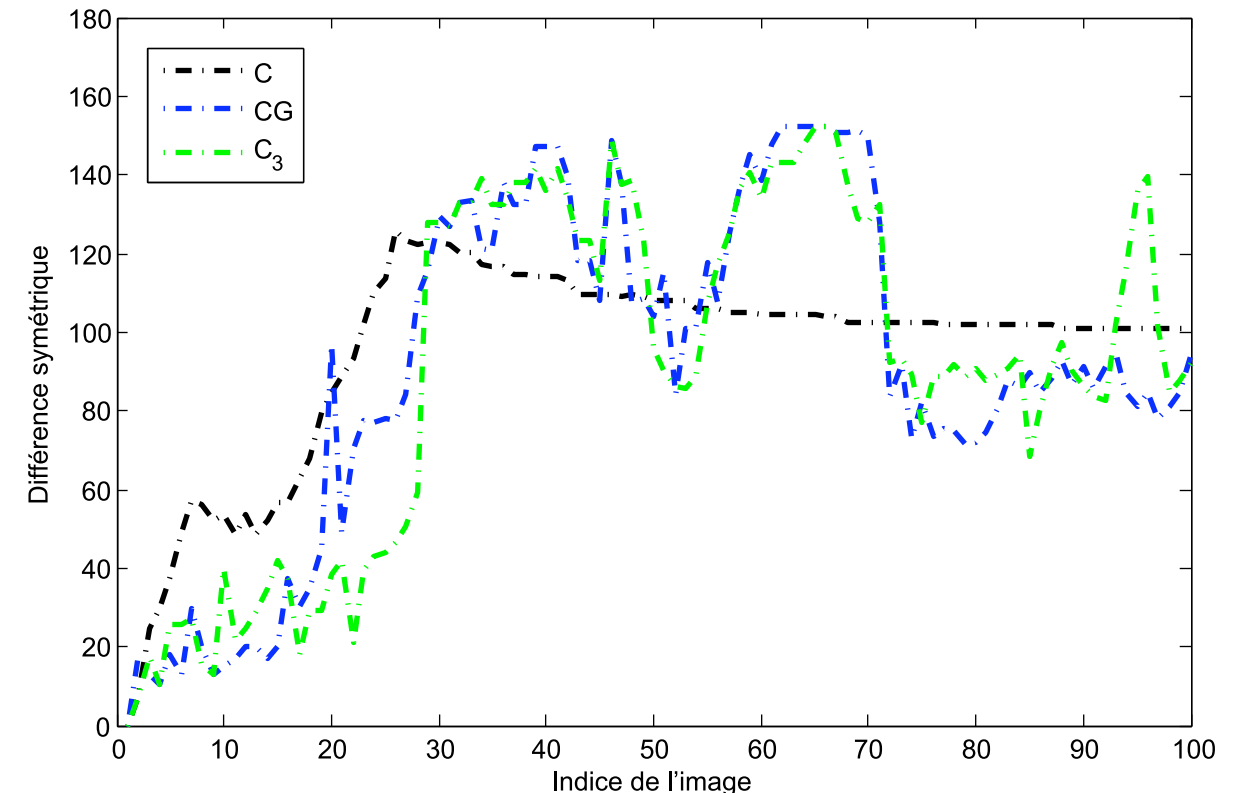
## ► Critère

- Différence symétrique

## ► Résultats

- Information géométrique vitale
- Meilleur descripteur : CGP

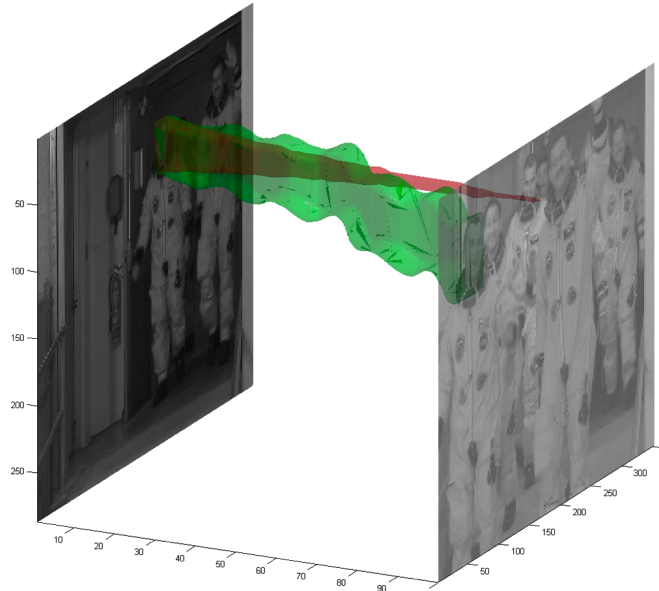
Différence symétrique



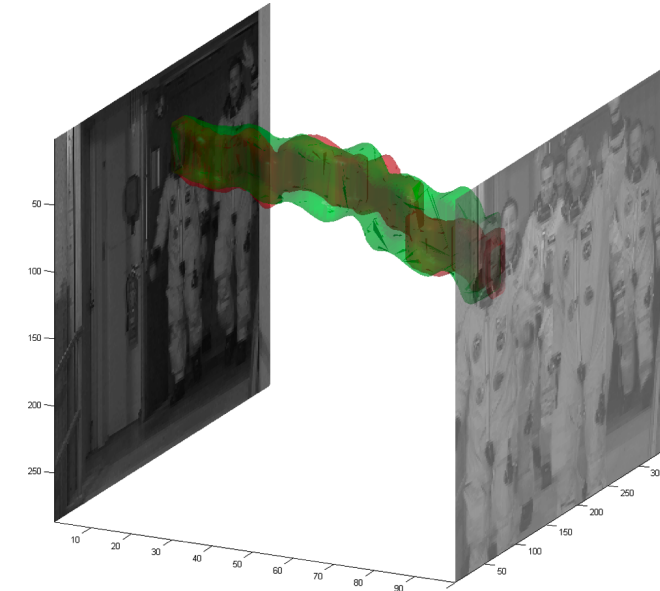
# Expérimentations sur données réelles

Sans géométrie

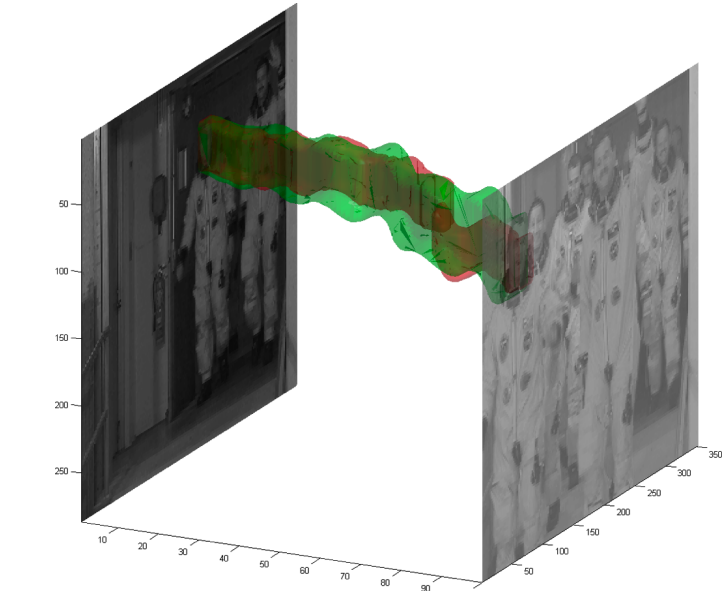
C



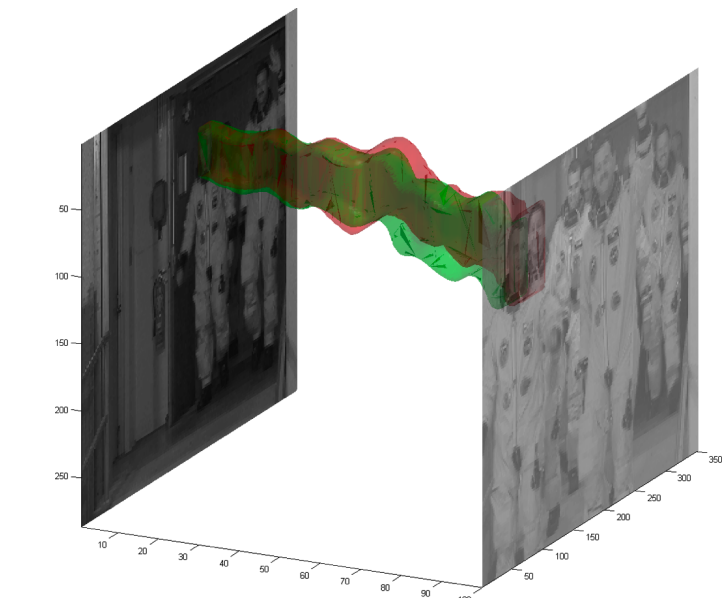
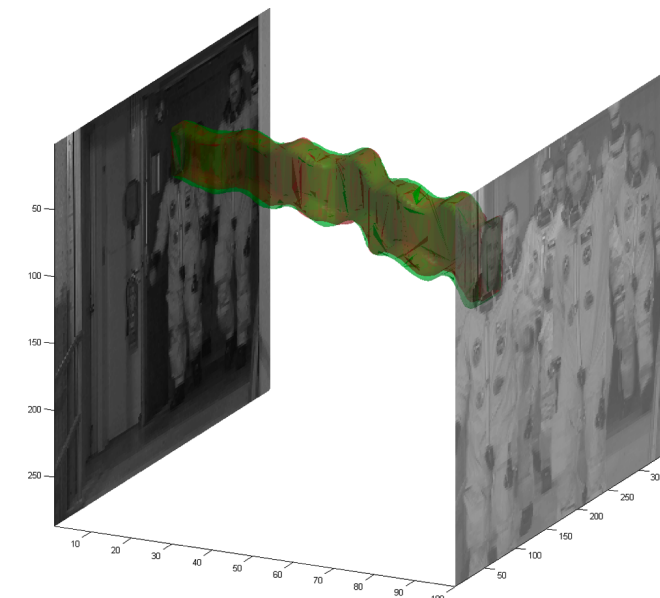
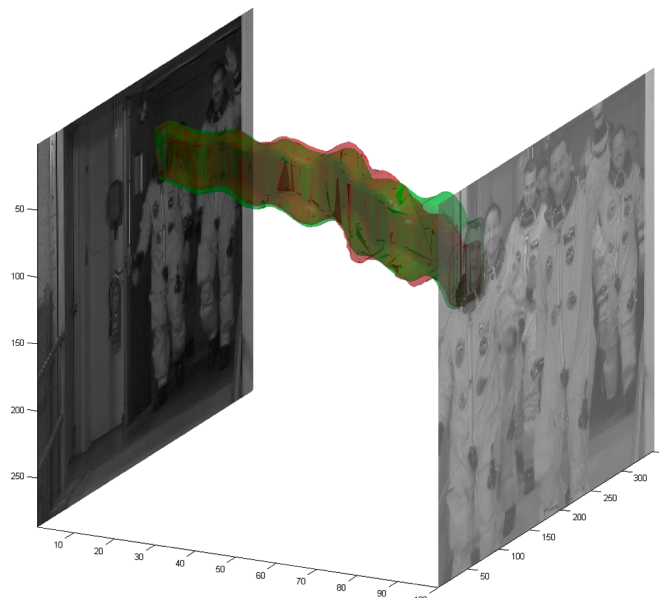
CG



C3

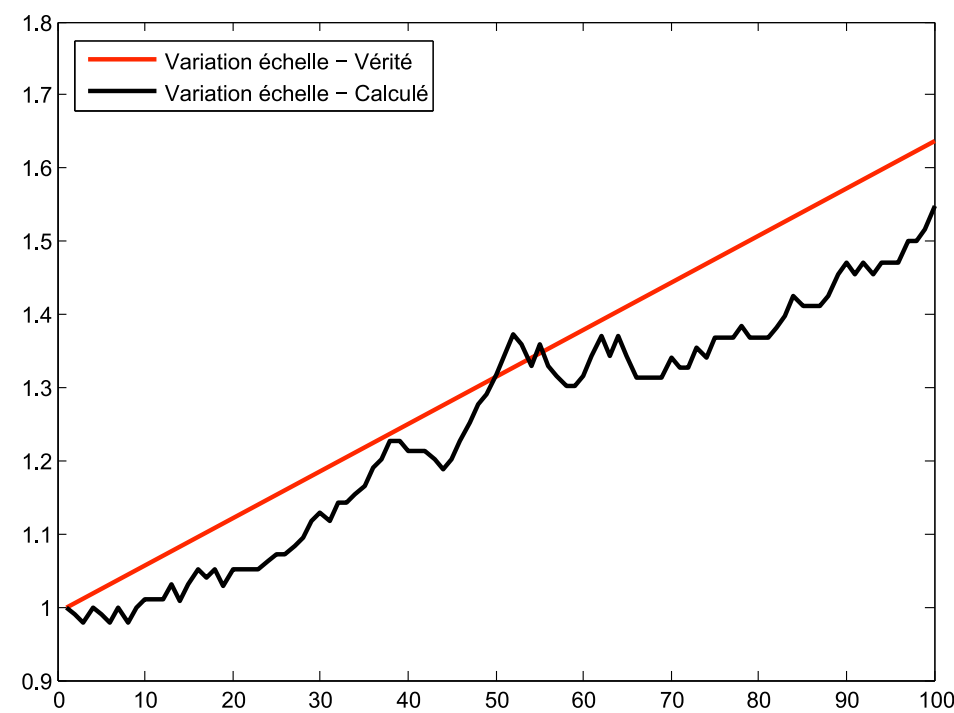
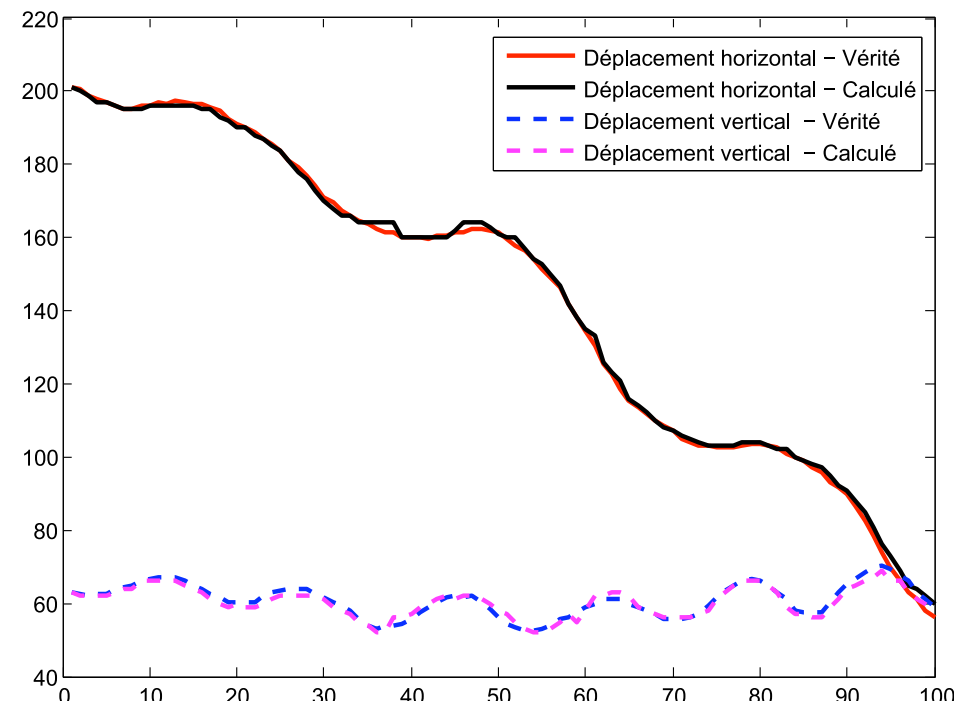


Avec géométrie



# Expérimentations sur données réelles

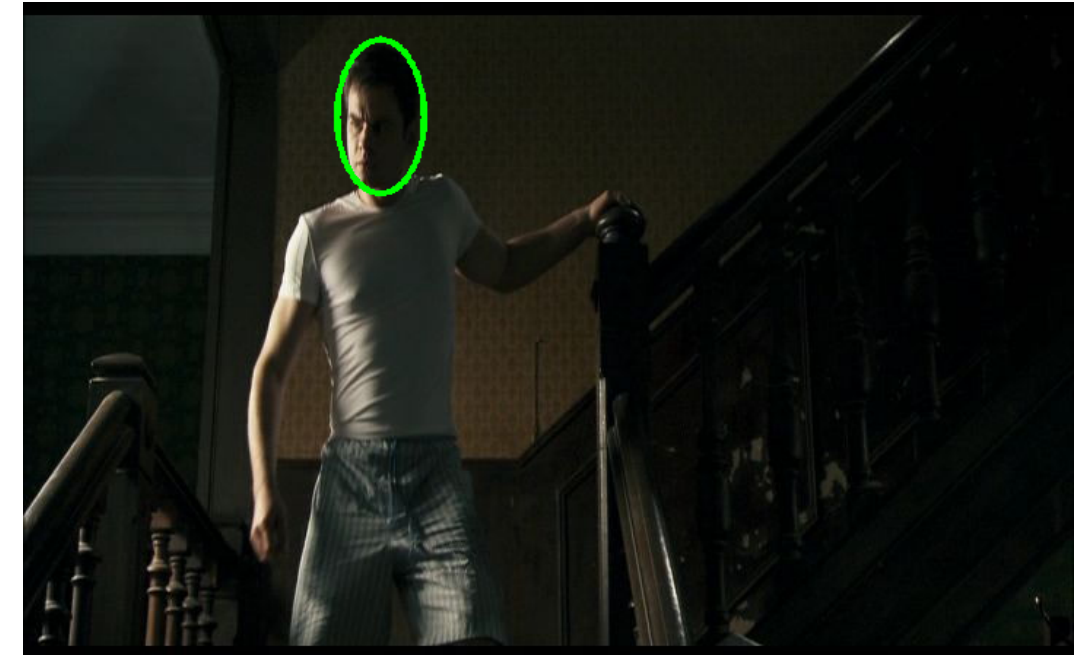
## Erreurs sur l'estimation des paramètres



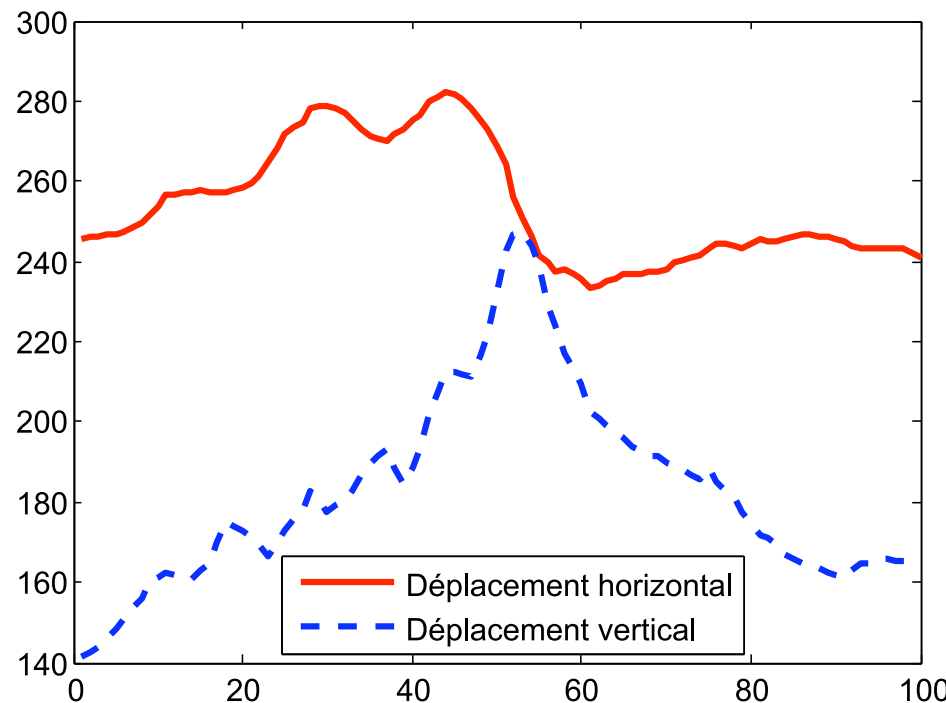
# EXPÉRIMENTATIONS SUR DONNÉES RÉELLES

## ► Séquence Poltergärtner

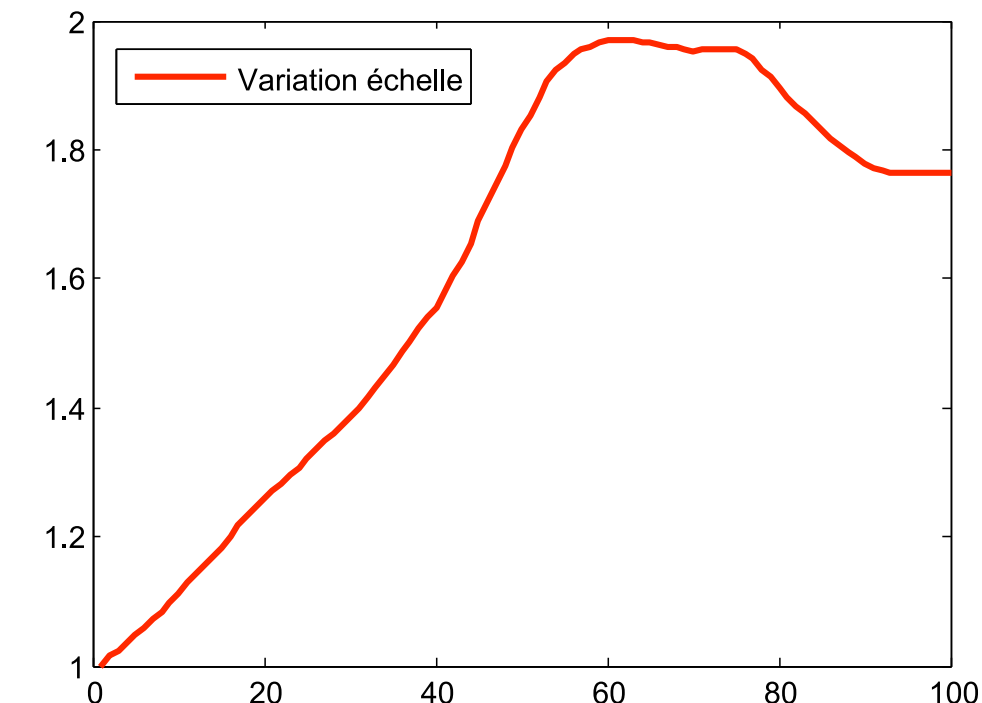
- 720x576 pixels, 100 images
- Objet : 9000 pixels
- Difficultés
  - Mouvement complexe
  - Couleurs sombres



Évolution des paramètres - position



Évolution des paramètres - échelle



# EXPÉRIMENTATIONS SUR DONNÉES RÉELLES

## ► Descripteurs testées

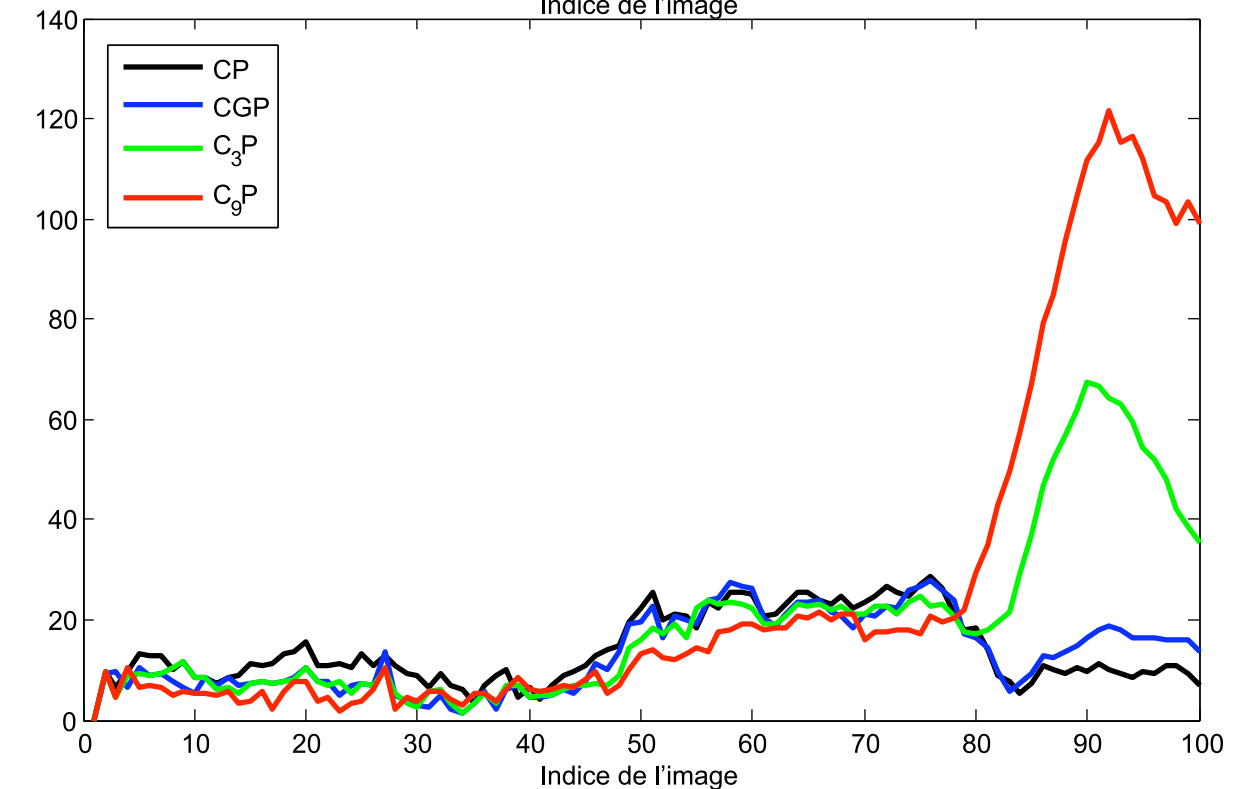
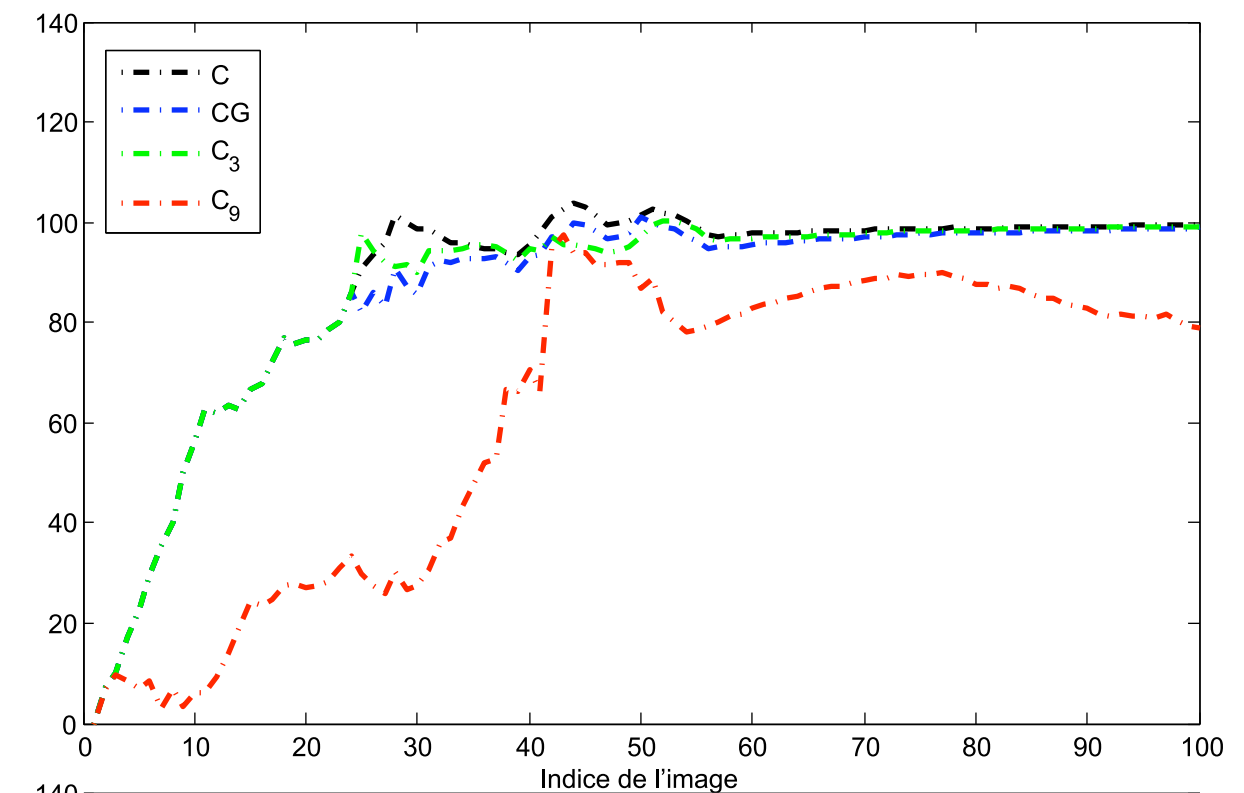
- C, CP, CG, CGP, C3, C3P, C9, C9P

## ► Résultats

- Information géométrique vitale
- Meilleur descripteur : CGP
- Patch 9x9 donne les meilleurs résultats

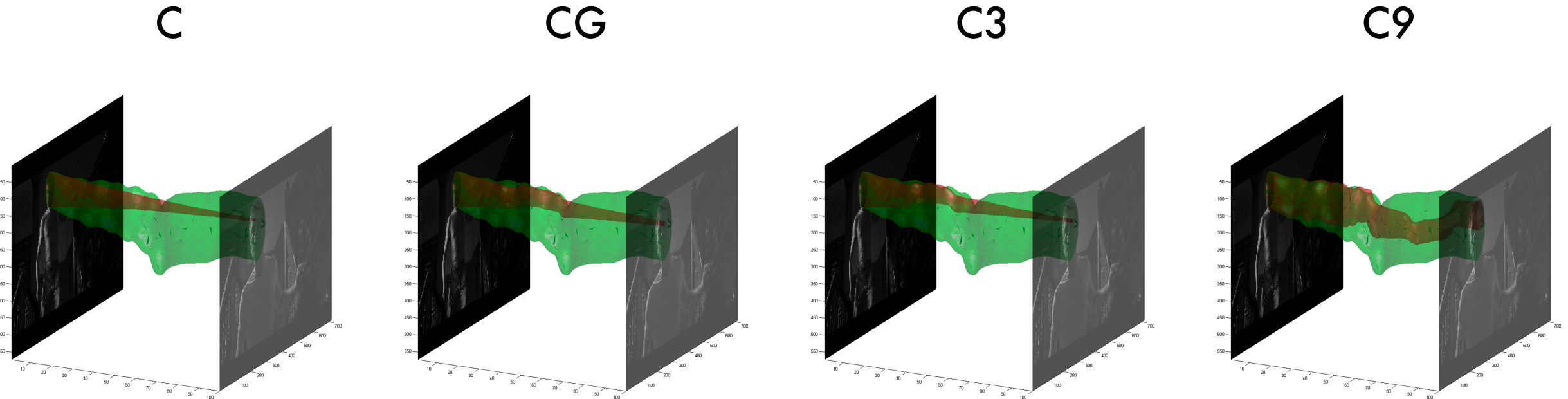
jusqu'à l'image 80

Différence symétrique

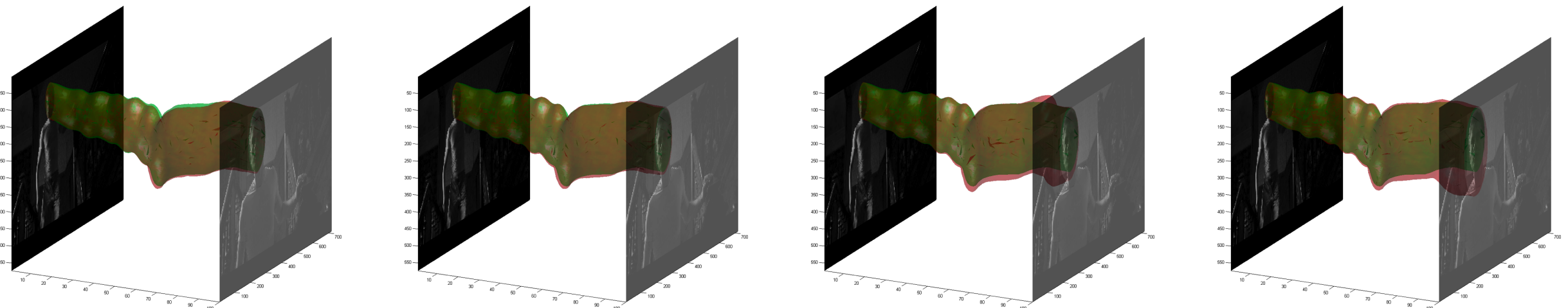


# Expérimentations sur données réelles

Sans géométrie

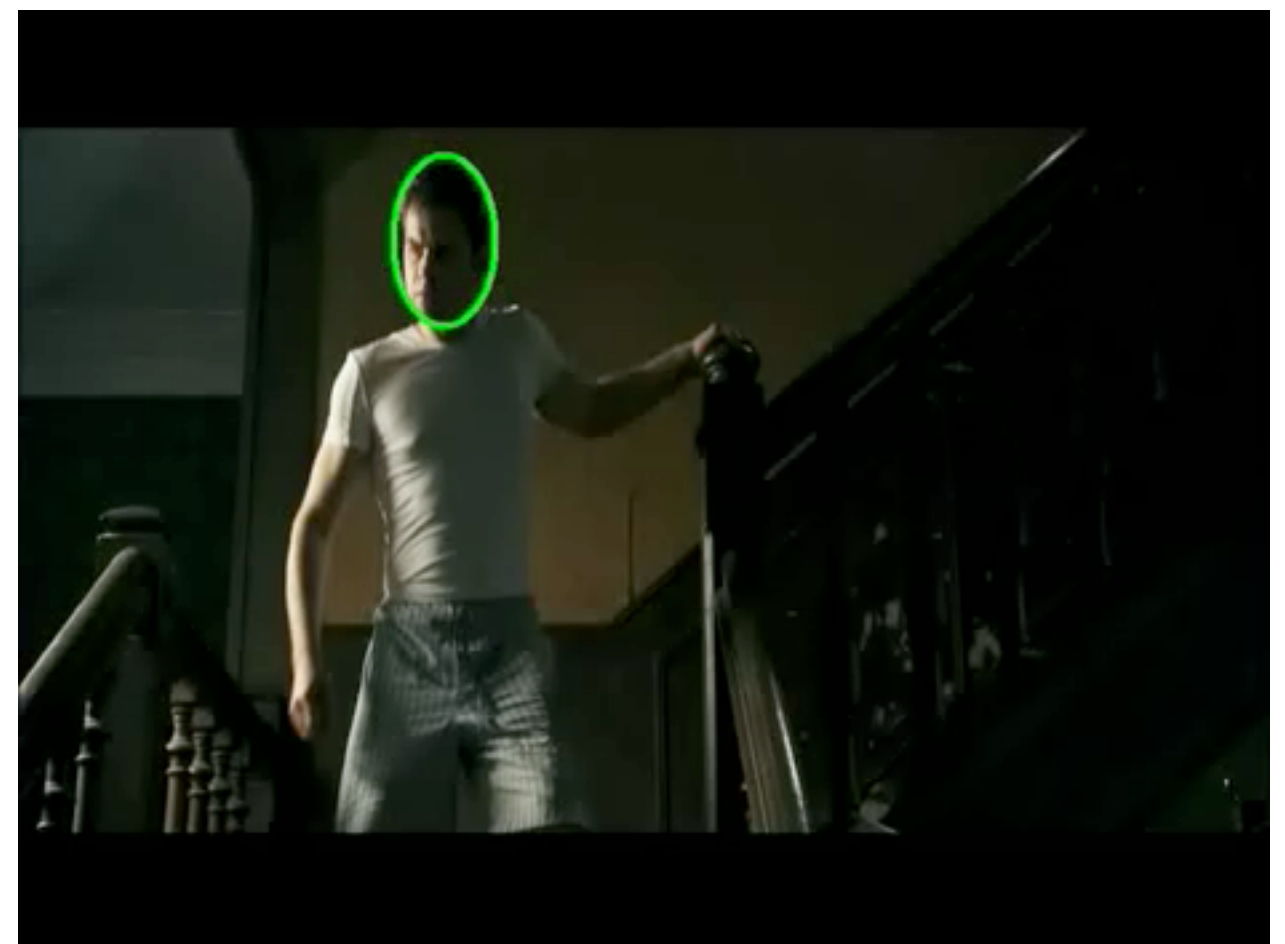
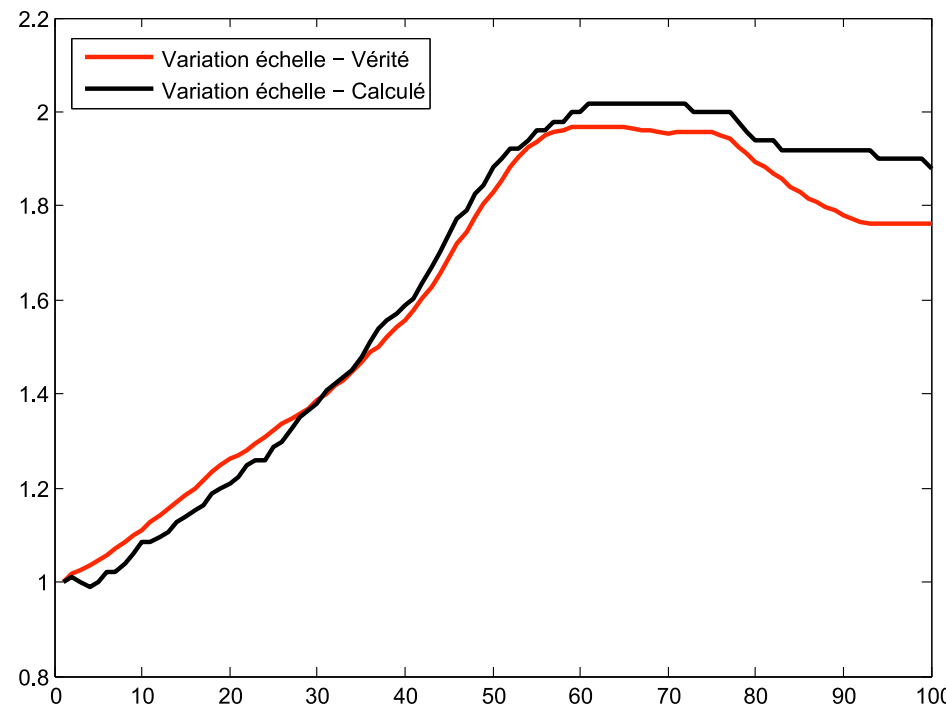
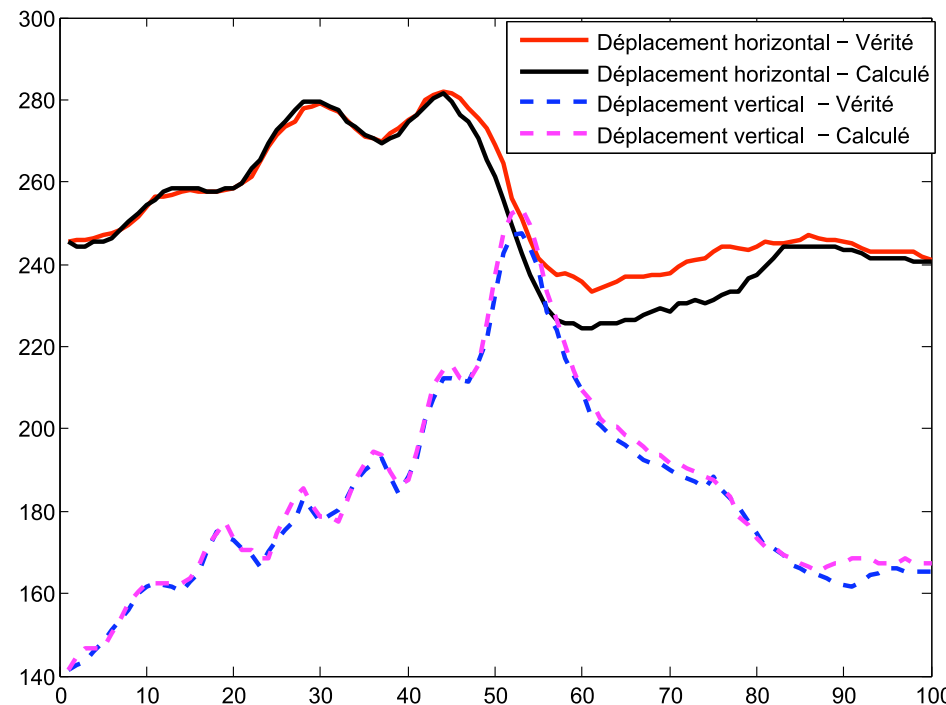


Avec géométrie



# Expérimentations sur données réelles

## Erreur sur l'estimation des paramètres



# EXPÉRIMENTATIONS SUR DONNÉES RÉELLES

## CPU vs. GPU

- GPU plus rapide que CPU
- Gain moins élevé
- Temps dépend de la dimension et des parcours
- ANN adapté à des données réelles

|      | Descripteur | Dimension | ANN-C++ | BF-CUDA | Gain |
|------|-------------|-----------|---------|---------|------|
| Crew | C           | 3         | 1m 33s  | 53s     | 1.8  |
|      | CP          | 5         | 2m 05s  | 1m 05s  | 1.9  |
|      | CG          | 5         | 2m 35s  | 1m 07s  | 2.3  |
|      | CGP         | 7         | 4m 27s  | 1m 19s  | 3.3  |
|      | C3          | 11        | 6m 40s  | 1m 17s  | 5.2  |
|      | C3P         | 13        | 5m 43s  | 1m 12s  | 4.8  |

## Intérêt du GPU

- Accélérer le suivi
- Essayer de nouveaux descripteur

|           | Descripteur | Dimension | ANN-C++ | BF-CUDA | Gain |
|-----------|-------------|-----------|---------|---------|------|
| Poltergay | C           | 3         | 7m 30s  | 5m      | 1.5  |
|           | CP          | 5         | 9m 45s  | 6m 10s  | 1.6  |
|           | CG          | 5         | 11m 10s | 5m 52s  | 1.9  |
|           | CGP         | 7         | 1h 03m  | 42m     | 1.5  |
|           | C3          | 11        | 32m     | 8m      | 3.6  |
|           | C3P         | 13        | 1h 25m  | 1h 18m  | 1.1  |
|           | C9          | 83        | 6h 59m  | 42m     | 9.8  |
|           | C9P         | 85        | 27h 16m | 5h 44m  | 5.3  |

# VALORISATION DES TRAVAUX

## ► Projet Wired Smart (ANR/RIAM)

- Realviz, ENS, CERTIS (ENPC), Mikros Image, CReATIVe (I3S)
- Intégrer un algorithme de suivi d'objets dans le logiciel Coloris (Mikros Image)
  - CReATIVe : Algorithme de suivi + Implémentation GPU de la recherche des kPPV
  - Mikros Image : Intégration dans Coloris

## ► Résultats (descripteur UVxy, k=3)

- Cercle rouge, 100 images
  - BF-C : 77 minutes 40 secondes
  - BF-CUDA : 21 secondes (**gain = 221X**)
- Poltergay, 100 images
  - BF-C : 560 minutes
  - BF-CUDA : 1 minutes 10 secondes (**gain = 480X**)

# CONCLUSION & PERSPECTIVES

## ► Résultats

- Méthode exhaustive (GPU) plus rapide que ANN (CPU)
- Gain très important sur données synthétiques : 150X ANN-C++ et 300X BF-C
- Gain significatif pour le suivi : 2-5X ANN-C++
- Autres applications : Indexation d'images (10X), débruitage d'images (10X)
- Librairie CUBLAS (CUDA BLAS) : accélération en haute dimension (2X BF-CUDA pour d=100)

## ► Programmation GPU

- Révolution pour le calcul scientifique (GPGPU - API NVIDIA CUDA)
- **Outil** adapté aux problèmes (algorithmes) parallélisables (e.g. kPPV)
- Accélérer les calculs / Nouvelles approches / Lever certaines limitations

## ► Perspectives

- Étudier d'autres algorithmes de recherche des kPPV : kd-tree, vp-tree, k-means, etc.
- Appliquer implémentation kPPV GPU à d'autres applications (haute dimension)

QUESTIONS ???

- A -

SUIVI D'OBJETS & TRAJECTOIRES  
DE POINTS SAILLANTS

# SUIVI D'OBJETS & TRAJECTOIRES

## ► Problème

- Contour initial à l'image I<sub>1</sub>
- Calculer le contour sur les autres images

## ► Objet = points d'échantillonnage + courbe

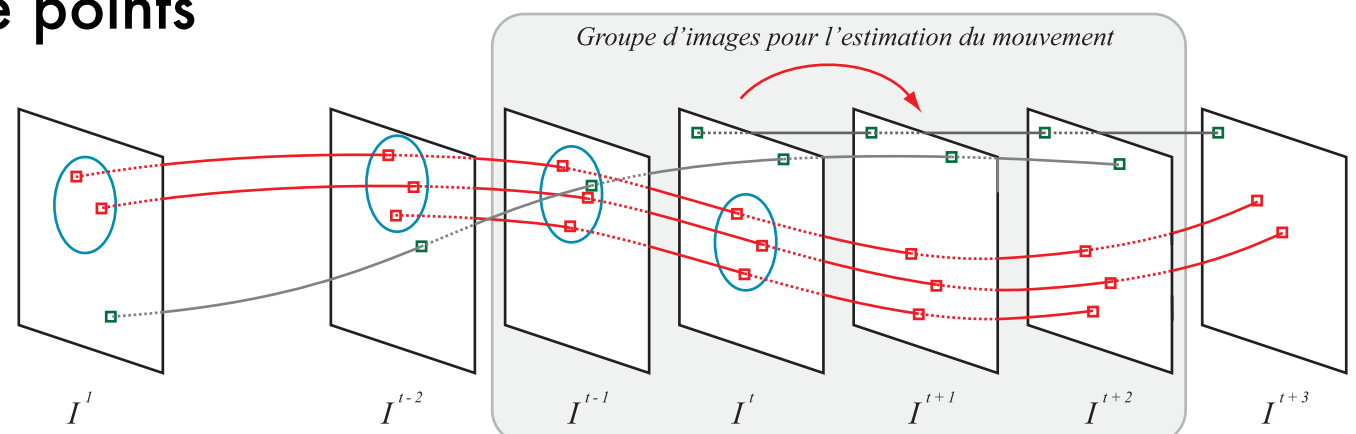
## ► Approche proposée

- Construction de trajectoires de points saillants
- Analyse de ces trajectoires pour l'estimation du mouvement
- GOP + pondération spatio-temporelle

# TRAJECTOIRES DE POINTS SAILLANTS

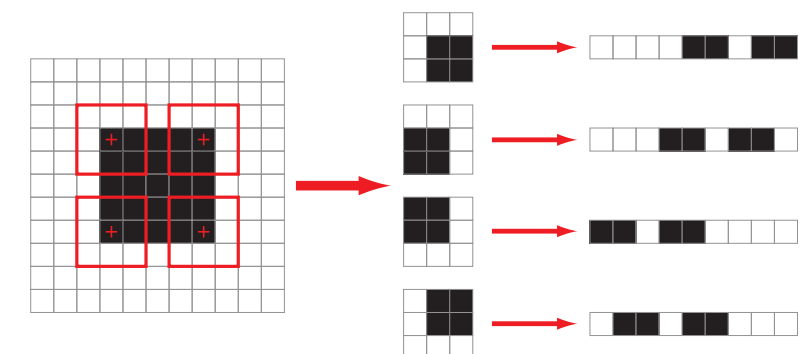
## ▶ Construction de trajectoires

- Appariement de points saillants entre 2 images consécutives
- Mise bout-à-bout des couples de points



## ▶ Description locale

- Extraction de points saillants (Harris-Stephens)
- Construction d'un descripteur (Patch)
- Définition d'une mesure de similarité (SAD)



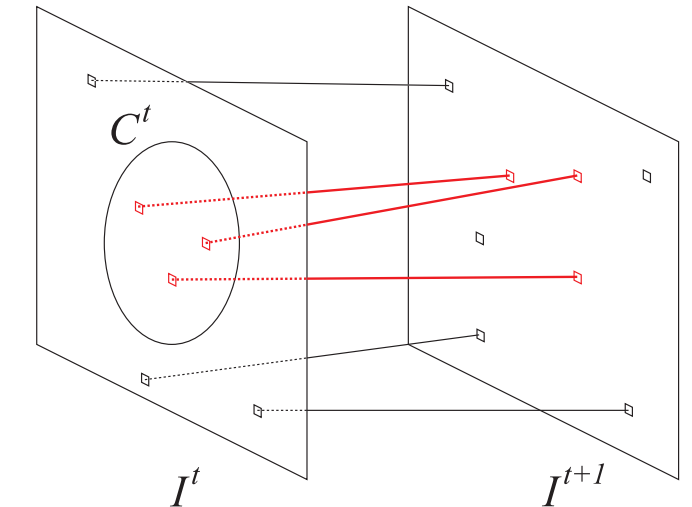
$$A(x, y) = \begin{bmatrix} \left(G_\sigma * \left(\frac{\partial I}{\partial x}\right)^2\right)(x, y) & \left(G_\sigma * \left(\frac{\partial I}{\partial x} \cdot \frac{\partial I}{\partial y}\right)\right)(x, y) \\ \left(G_\sigma * \left(\frac{\partial I}{\partial x} \cdot \frac{\partial I}{\partial y}\right)\right)(x, y) & \left(G_\sigma * \left(\frac{\partial I}{\partial y}\right)^2\right)(x, y) \end{bmatrix}$$

$$\begin{aligned} C(x, y) &= \lambda_1 \lambda_2 - \kappa (\lambda_1 + \lambda_2)^2 \\ &= \det(A(x, y)) - \kappa \cdot \text{trace}^2(A(x, y)) \end{aligned}$$

# MOUVEMENT GLOBAL ENTRE 2 IMAGES

## ► Algorithme

- Contour de référence :  $C^t$
- Extraction des couples de points  $\{p_i^t, p_i^{t+1}\}$
- Estimation du mouvement  $M^t$  de  $C^t$  à partir des couples  $\{p_i^t, p_i^{t+1}\}$
- Calcul de  $C^{t+1}$  : application de  $M^t$  à  $C^t$



## ► Estimation du mouvement

- Mouvement affine
- Minimisation d'un M-estimateur

$$M^t = \begin{pmatrix} a & b & c \\ d & e & f \\ 0 & 0 & 1 \end{pmatrix}$$

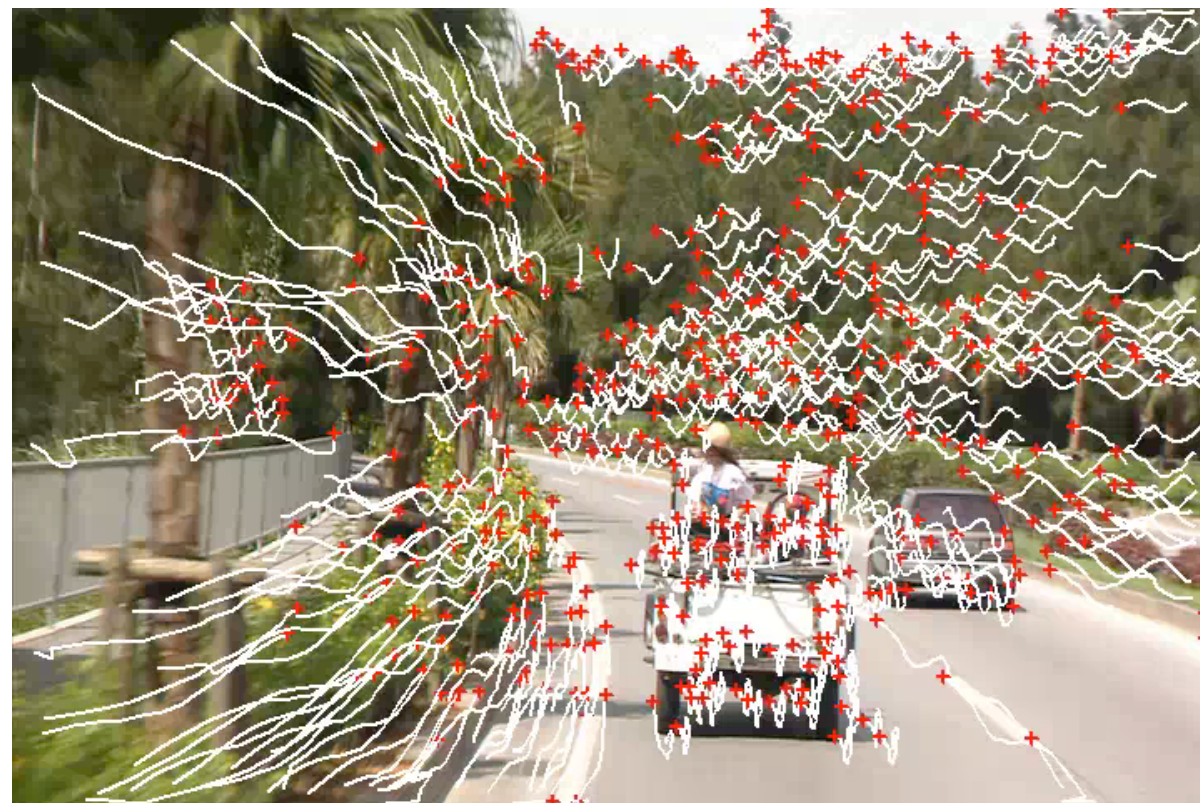
$$\widehat{M}^t = \arg \min_M \sum_{i \in [1, N_p]} f(\|\epsilon_{i,M}^t\|)$$

$$\epsilon_{i,M}^t = p_i^{t+1} - Mp_i^t$$

- Simplexe ou recuit simulé

## ► Driving

- 720 x 480 pixels
- 30 images
- Suivi précis malgré l'occultation
- Comment exprimer l'erreur de suivi?



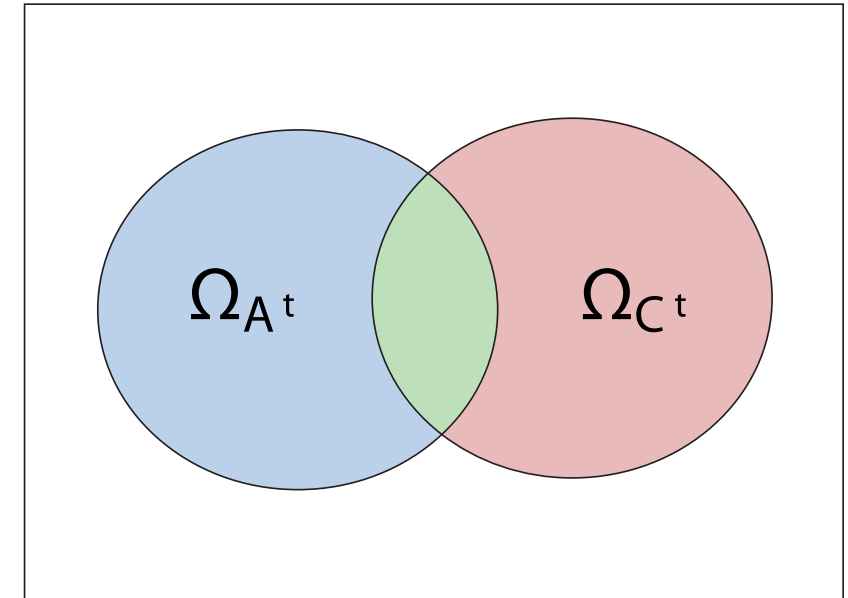
# CRITÈRE DE QUALITÉ

## ▶ Image $I^t$

- **Contour animateur (groundtruth) :**  $\Omega_{A^t}$
- **Contour calculé :**  $\Omega_{C^t}$

## ▶ Erreur de suivi à l'image $I^t$

$$E(\Omega_{A^t}, \Omega_{C^t}) = 100 \frac{\#(\Omega_{A^t} \Delta \Omega_{C^t})}{\#\Omega_{A^t}}$$



## ▶ Différence symétrique

$$\Omega_{A^t} \Delta \Omega_{C^t} = \{x | (x \in \Omega_{A^t}) \vee \vee (x \in \Omega_{C^t})\}$$

## ▶ Erreur de suivi sur la séquence

$$E(A, C) = \frac{1}{N_V} \sum_{t=2}^{N_V} E(A^t, C^t)$$

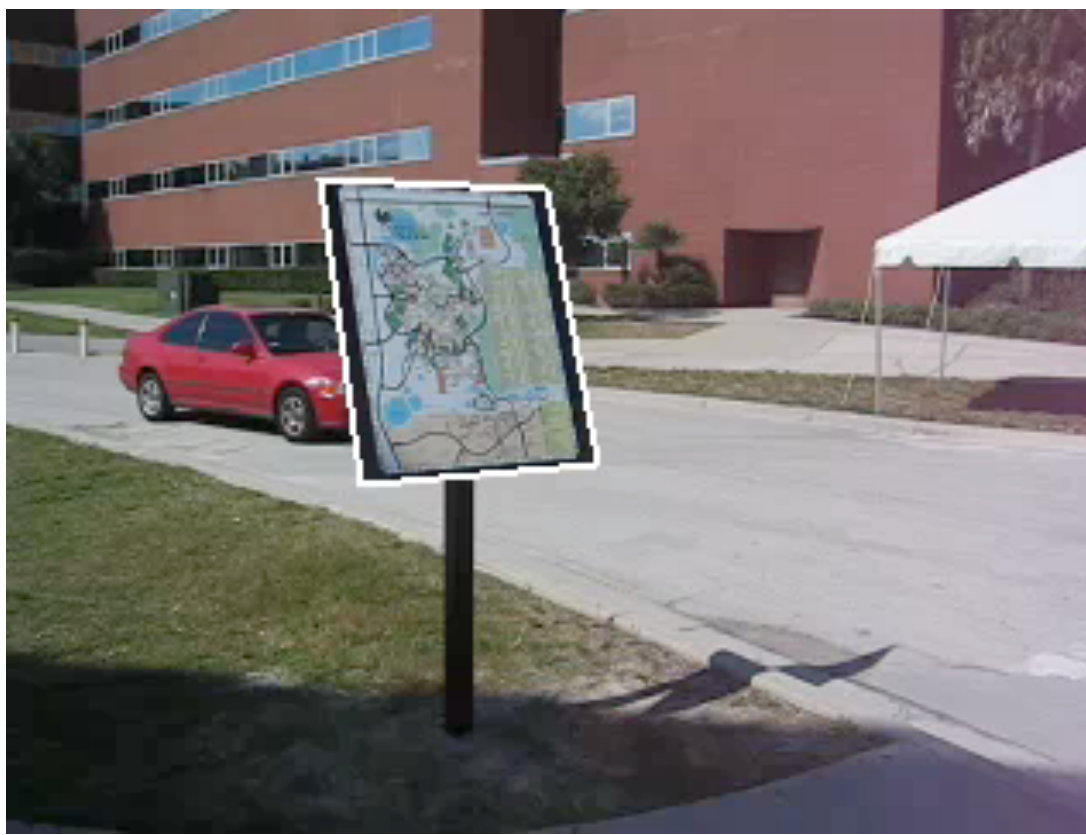
# RÉSULTATS

## ► Carmap

- 240 x 320, 36 images
- 35 couples de points
- Erreur de suivi : 4% de pixels mal-classés



|1

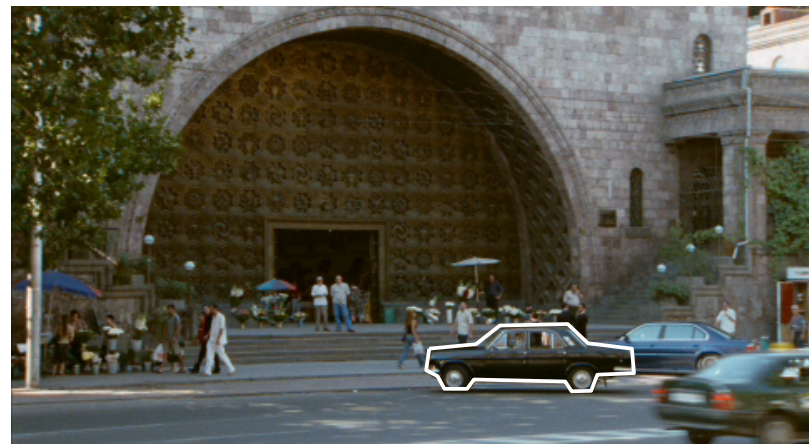


|36

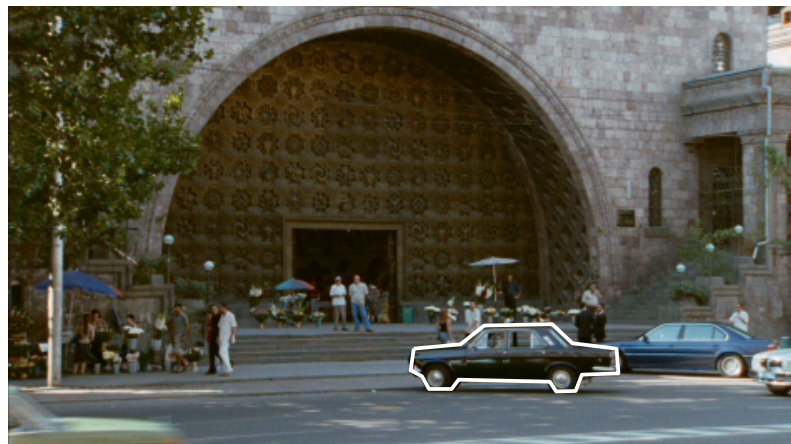
# RÉSULTATS

## ► Arménie ("Voyage en Arménie", Guédiguian, 2006)

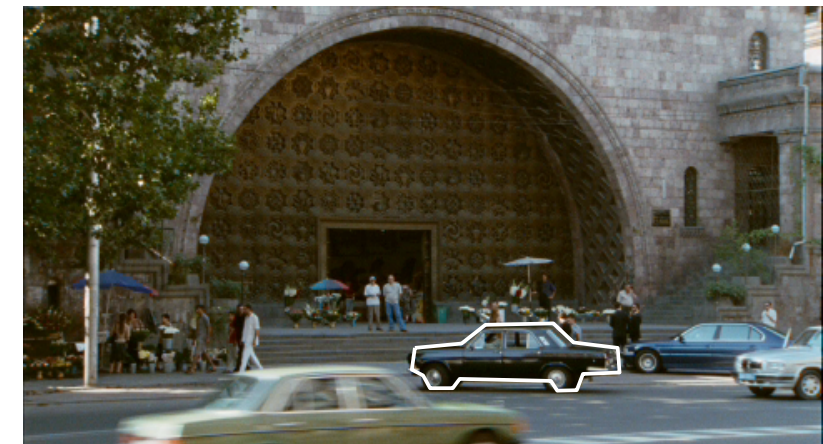
- 480 x 270 pixels, 40 images
- **11 couples de points**
- Erreur de suivi : 42% de pixels mal-classés



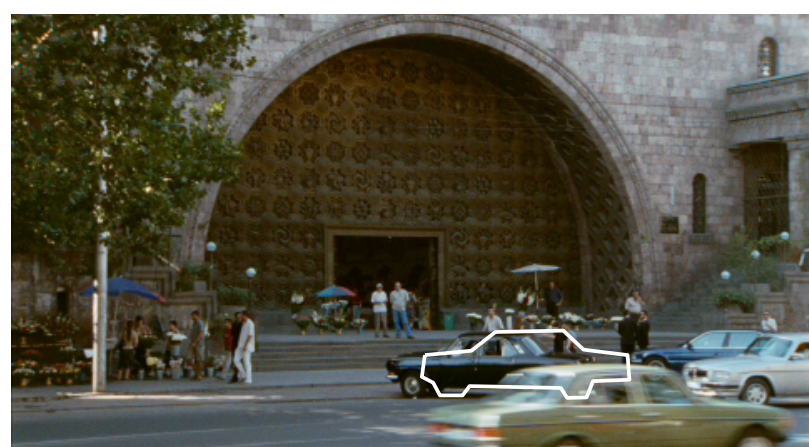
|<sup>1</sup>



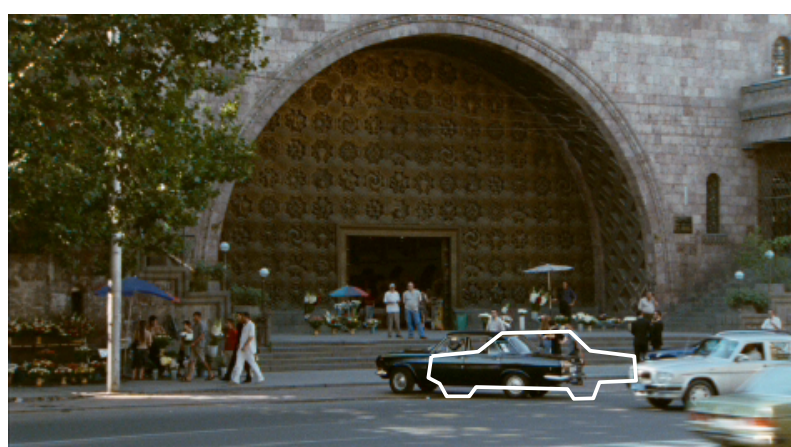
|<sup>8</sup>



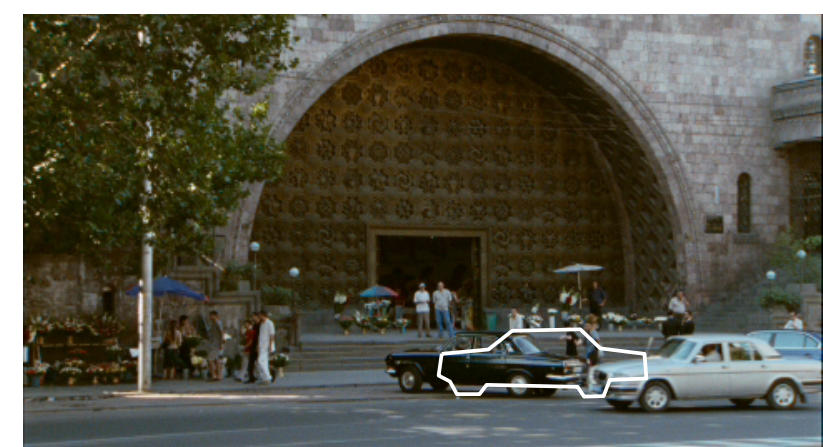
|<sup>16</sup>



|<sup>24</sup>



|<sup>32</sup>



|<sup>40</sup>

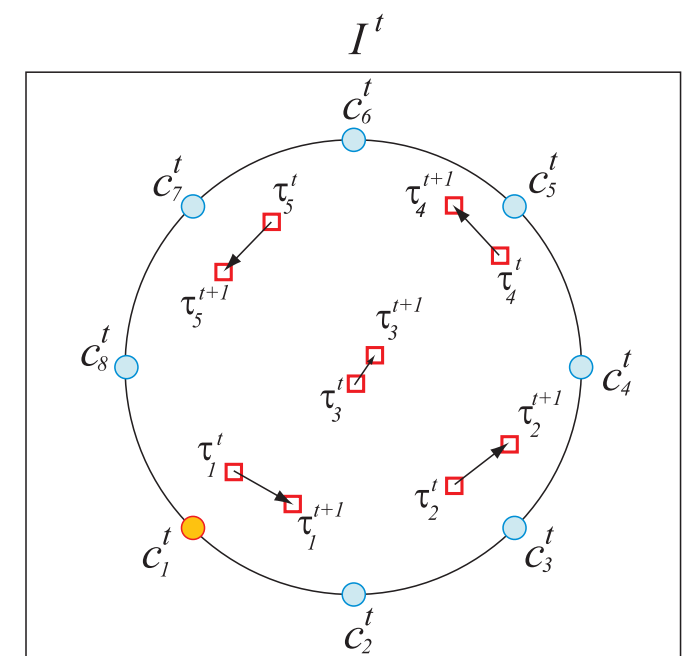
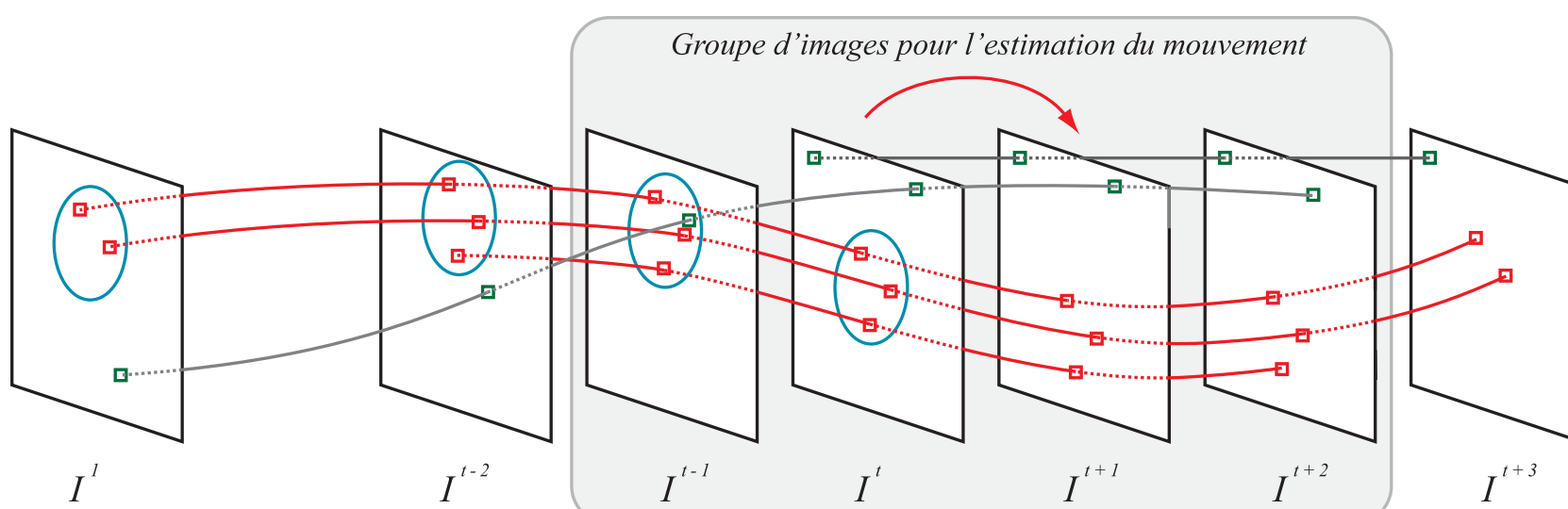
# MOUVEMENT LOCAL SUR UN GOP GLISSANT

## ► Inconvénients

- Qualité de l'estimation du mouvement dépend du nombre de couple de points
- Mouvement global uniquement entre 2 images

## ► Solution

- Extraction des couples sur un groupe d'images + pondération temporelle
- Estimation locale du mouvement = pondération spatiale



# MOUVEMENT LOCAL SUR UN GOP GLISSANT

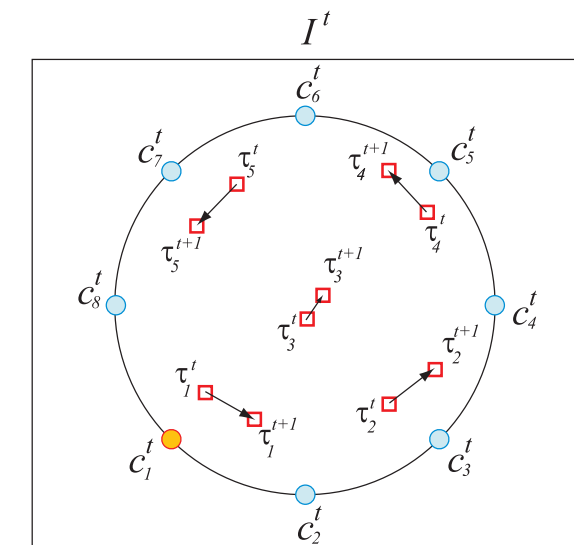
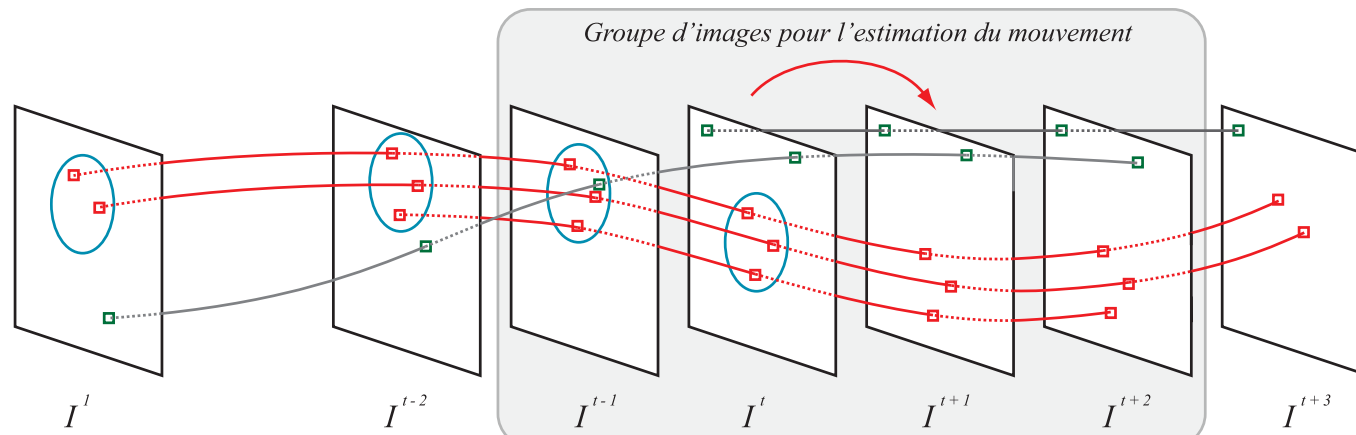
## ► Estimation du mouvement

$$\widehat{M}_k^t = \arg \min_M \sum_{i=1}^{N_T} \sum_{j=t-g-1}^{t+g-1} \alpha^{t,j} \beta_{k,i}^t f(\|\epsilon_{i,M}^j\|)$$

$$\epsilon_{i,M}^t = p_i^{t+1} - Mp_i^t$$

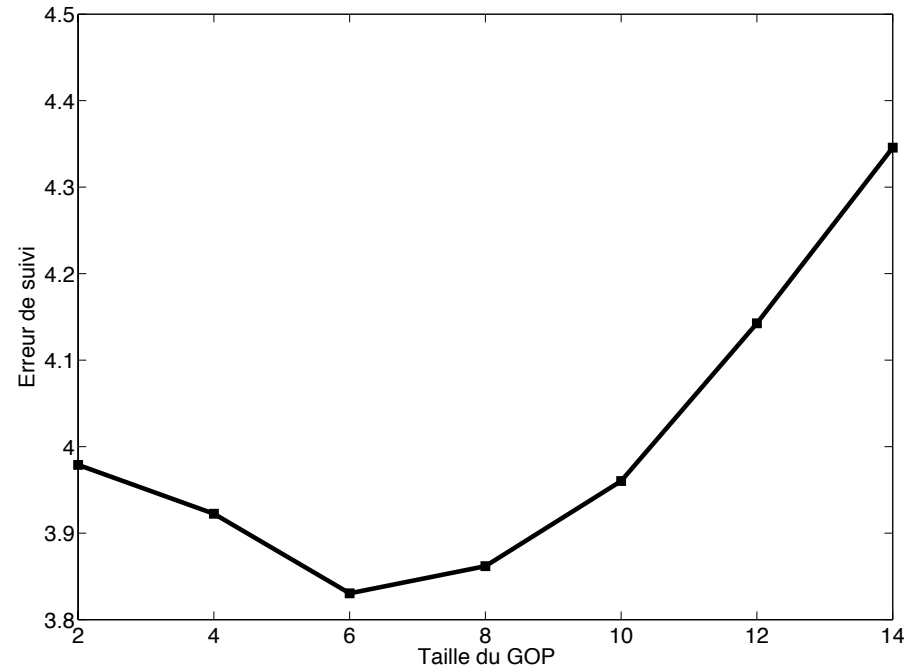
## ► Couple de points $\{p_i^j, p_i^{j+1}\}$

- **Pondération temporelle**  $\alpha^{t,j} = \varphi(t - j)$
- **Pondération spatiale**  $\beta_{k,i}^t = \phi(\mathcal{D}(c_k^t, \{p_i^j, p_i^{j+1}\}))$

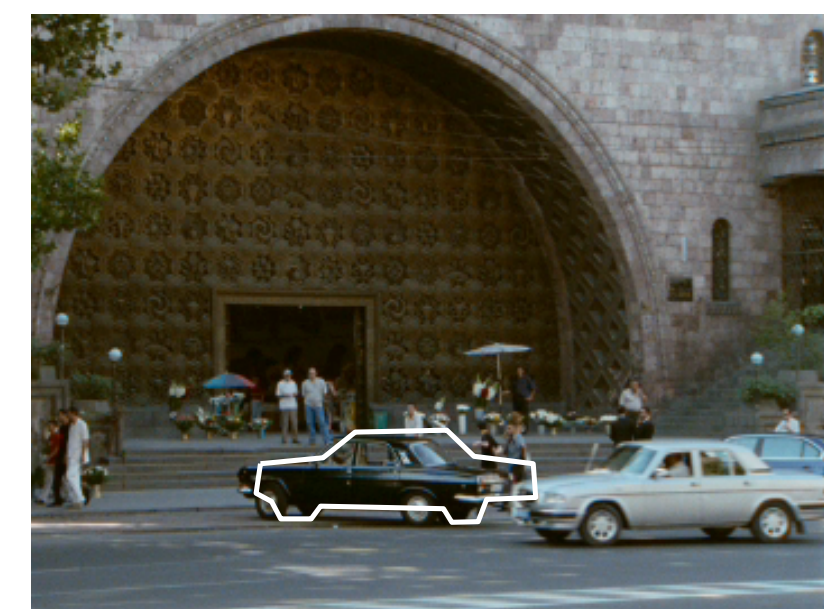
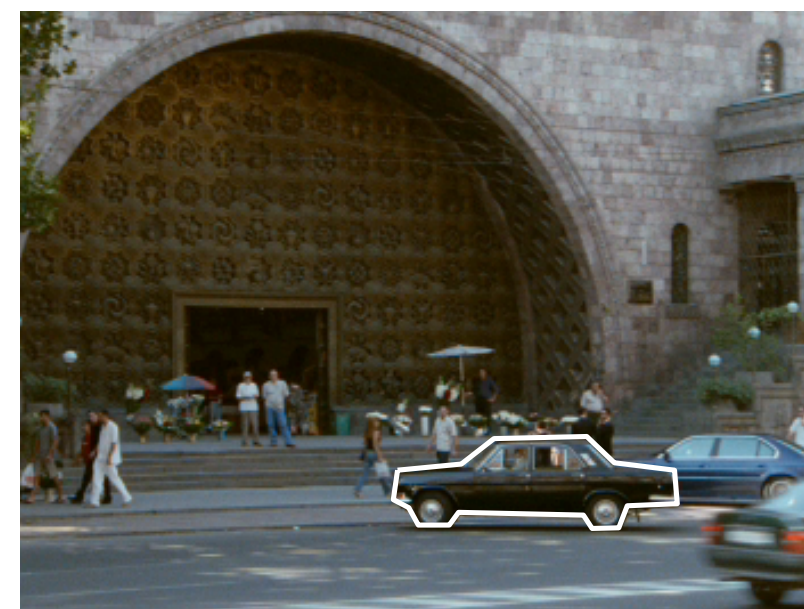
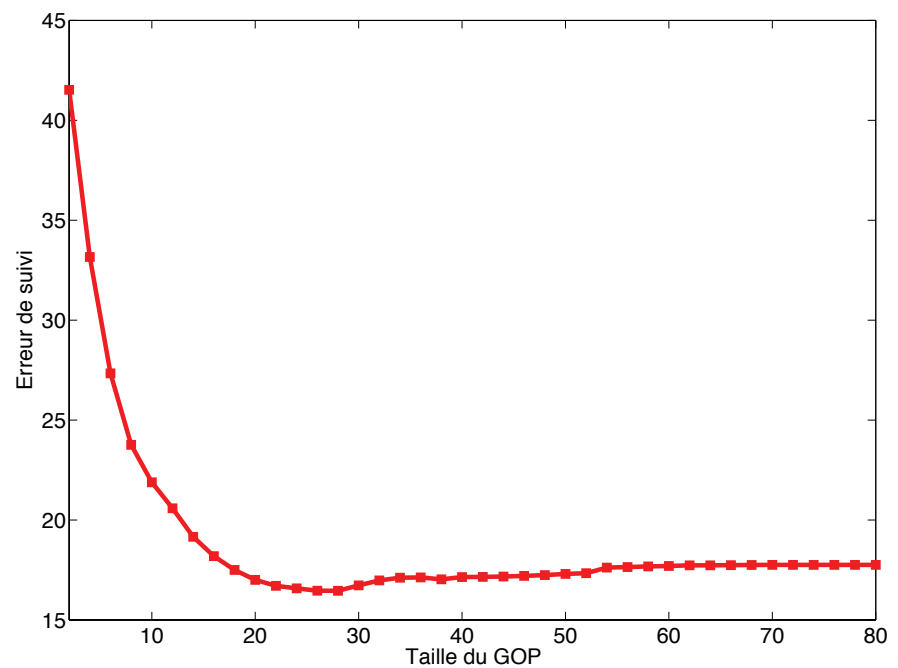


# RÉSULTATS

► Carmap : GOP = 6 → erreur < 4%



► Arménie : GOP = 27 → erreur = 17%



# RÉSULTATS

## ▶ Football

- 352 x 288 pixels
- 20 images
- Difficulté : mouvement rapide



## ▶ Crew

- 352 x 288 pixels
- 100 images
- Difficultés
  - Variation intensité (flashes)
  - Mouvement complexe



# RÉSULTATS

## ▶ Speed

- 646 x 272 pixels
- 100 images
- Difficulté : occultation

